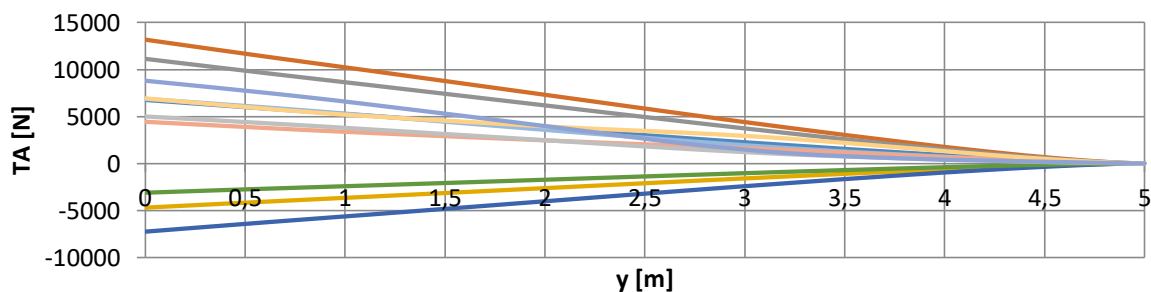


8. Přílohy

I. Grafy zatížení křídla ostatních hmotových konfigurací

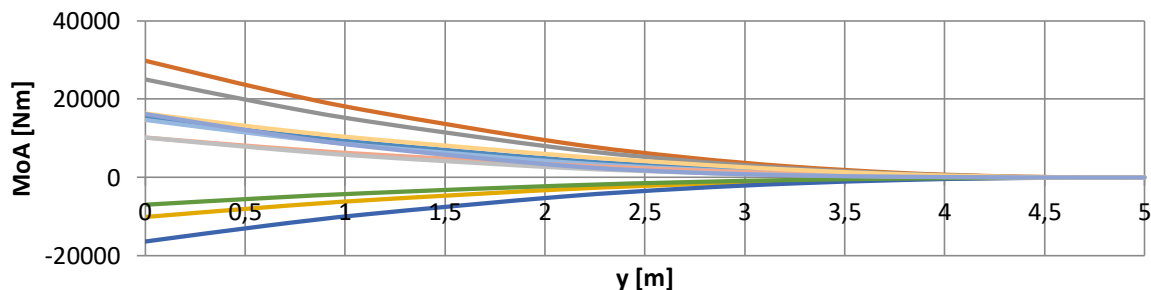
Hmotová konfigurace 406,45 kg

Rozložení výsledné posouvající síly po polorozpětí



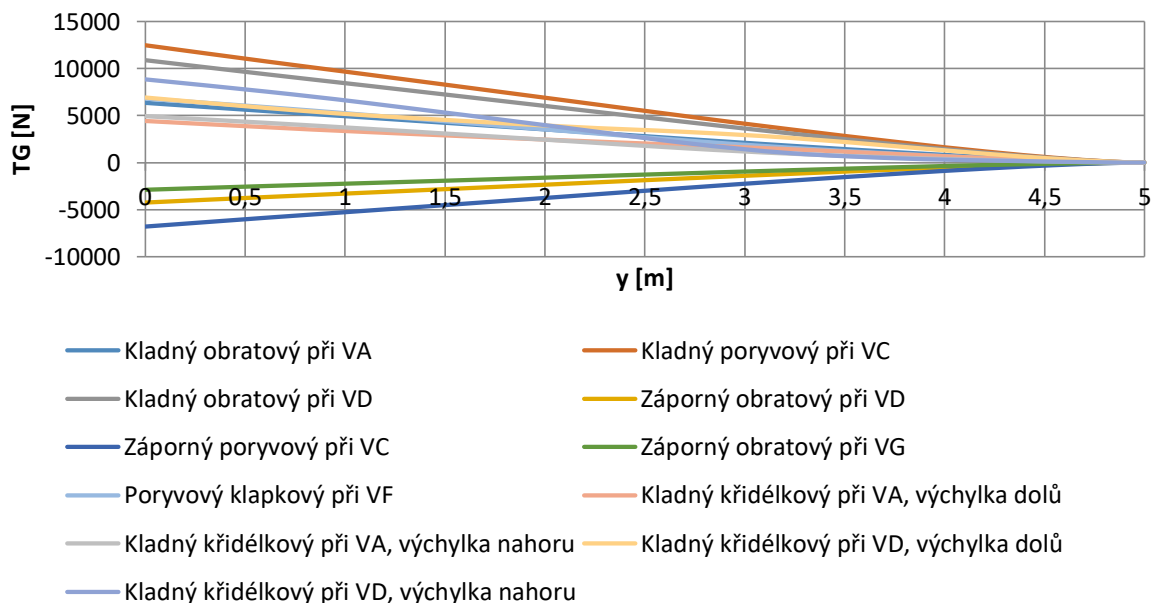
Výsledná posouvající síla – 406,45 kg

Rozložení výsledného ohybového momentu po polorozpětí



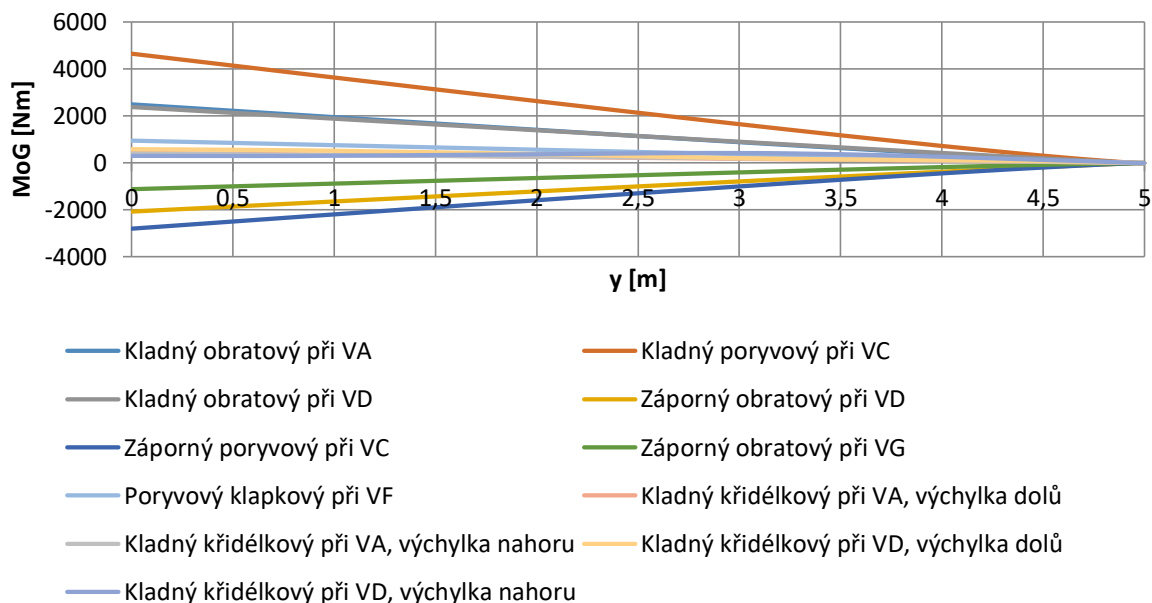
Výsledný ohybový moment – 406,45 kg

Rozložení normálové složky posouvající síly po polorozpětí



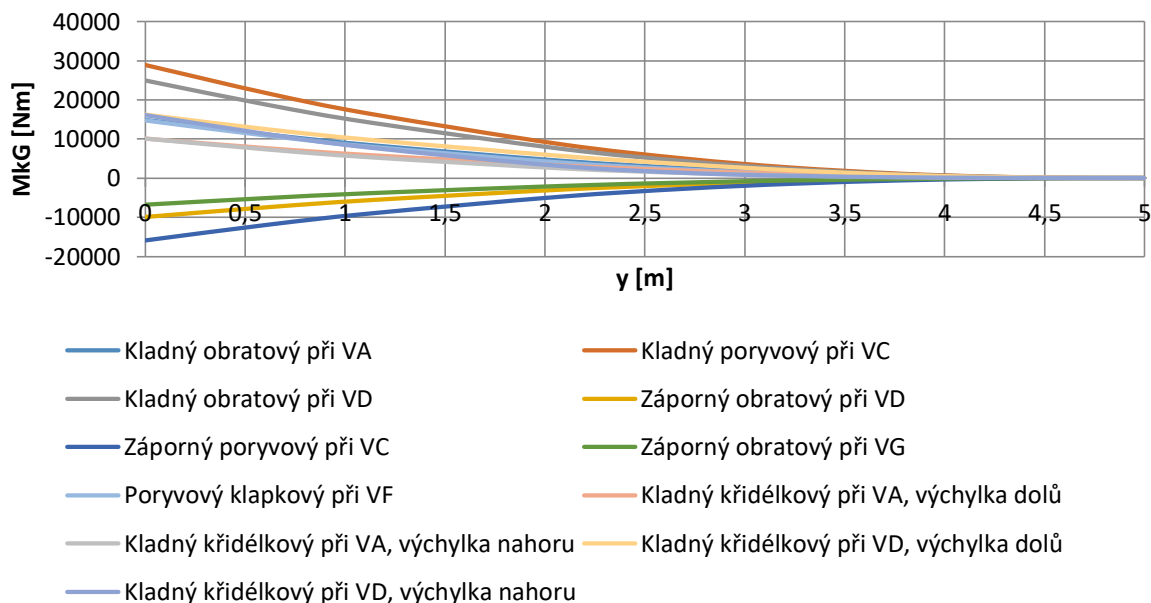
Normálová složka posouvající síly – 406,45 kg

Rozložení tečné složky posouvající síly po polorozpětí



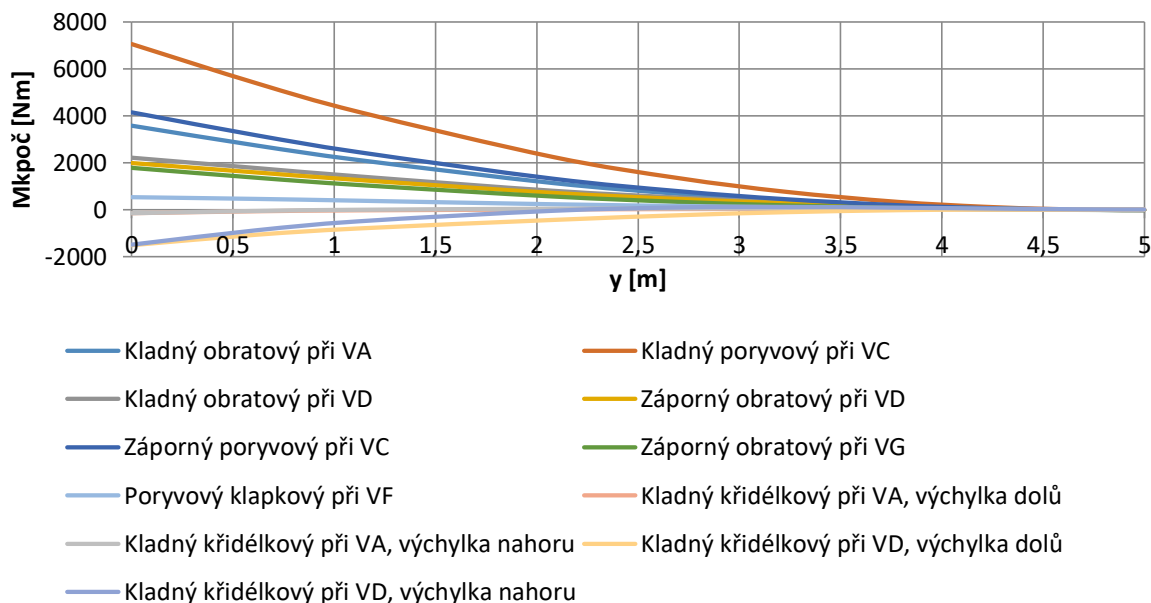
Tečná složka posouvající síly – 406,45 kg

Rozložení normálové složky ohybového momentu po polorozpětí



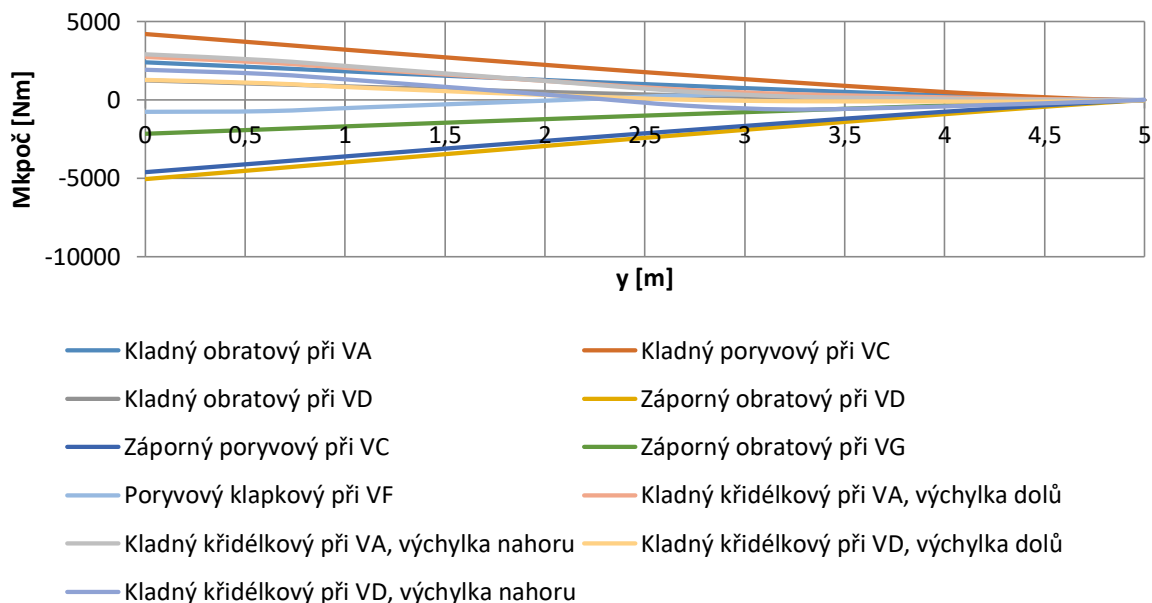
Normálová složka ohybového momentu – 406,45 kg

Rozložení tečné složky ohybového momentu po polorozpětí



Tečná složka ohybového momentu – 406,45 kg

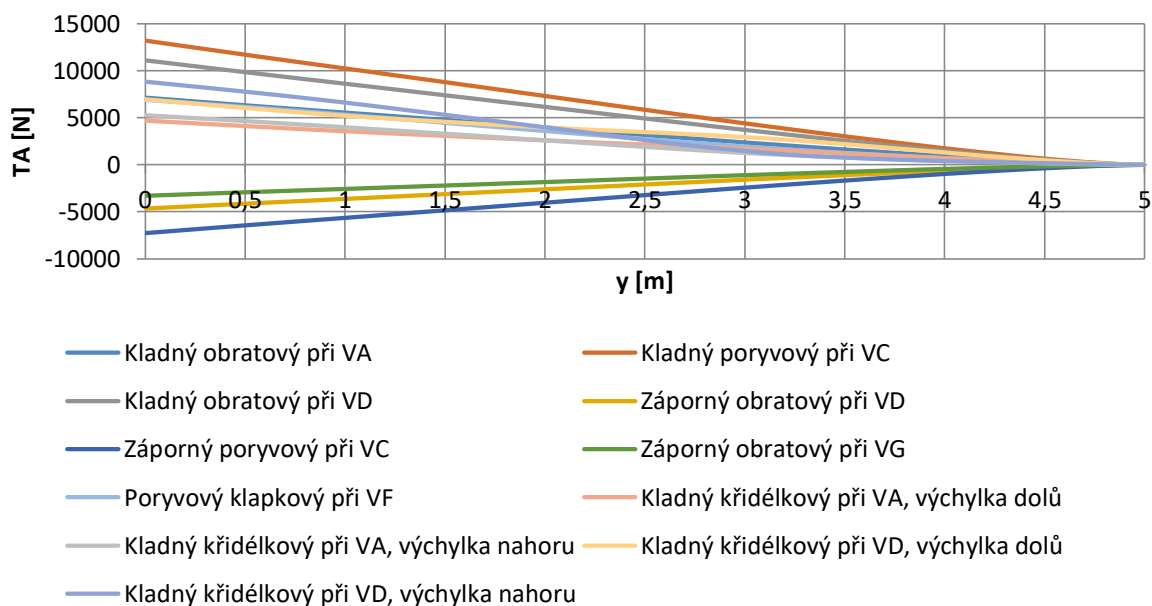
Rozložení celkového početního krouticího momentu k EO po polorozpětí



Celkový početní krouticí moment k EO – 406,45 kg

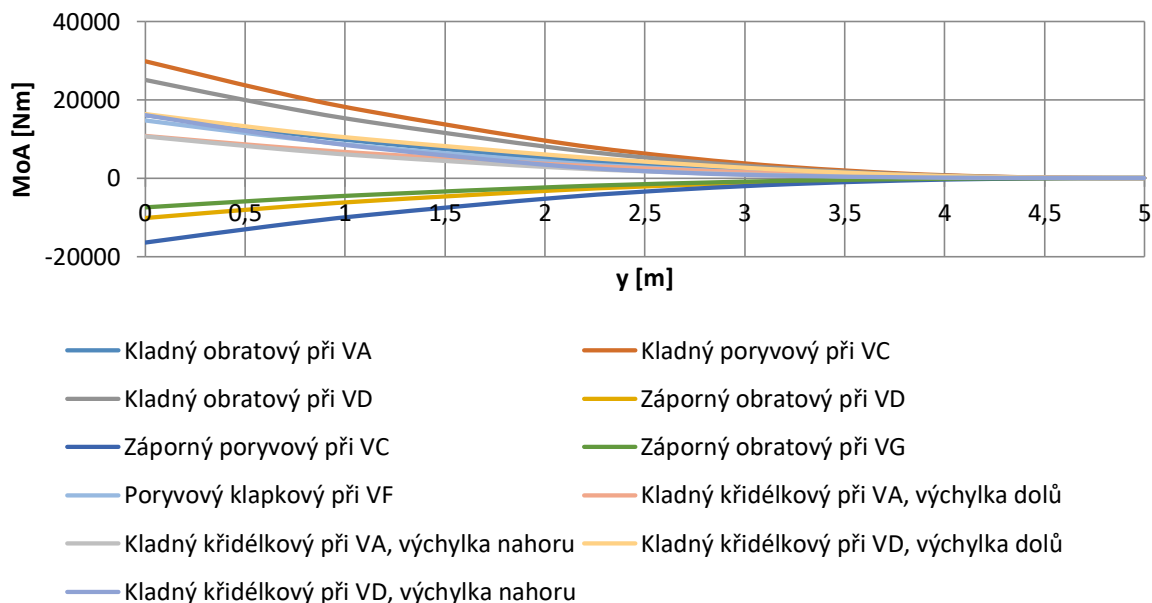
Hmotová konfigurace 426,45 kg

Rozložení výsledné posouvající síly po polorozpětí



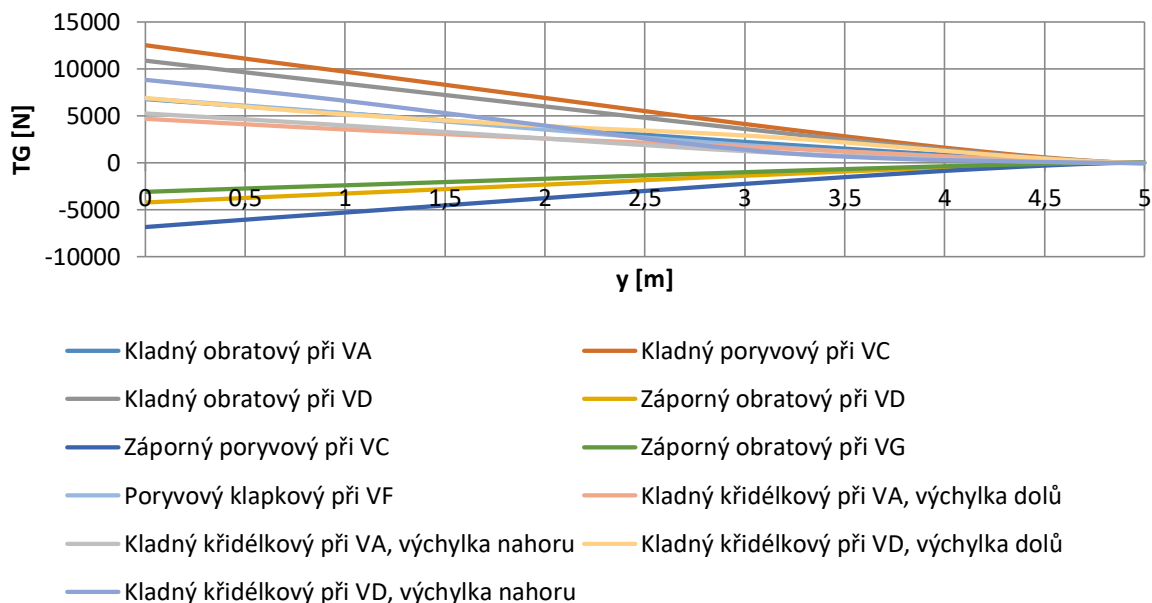
Výsledná posouvající síla – 426,45 kg

Rozložení výsledného ohybového momentu po polorozpětí



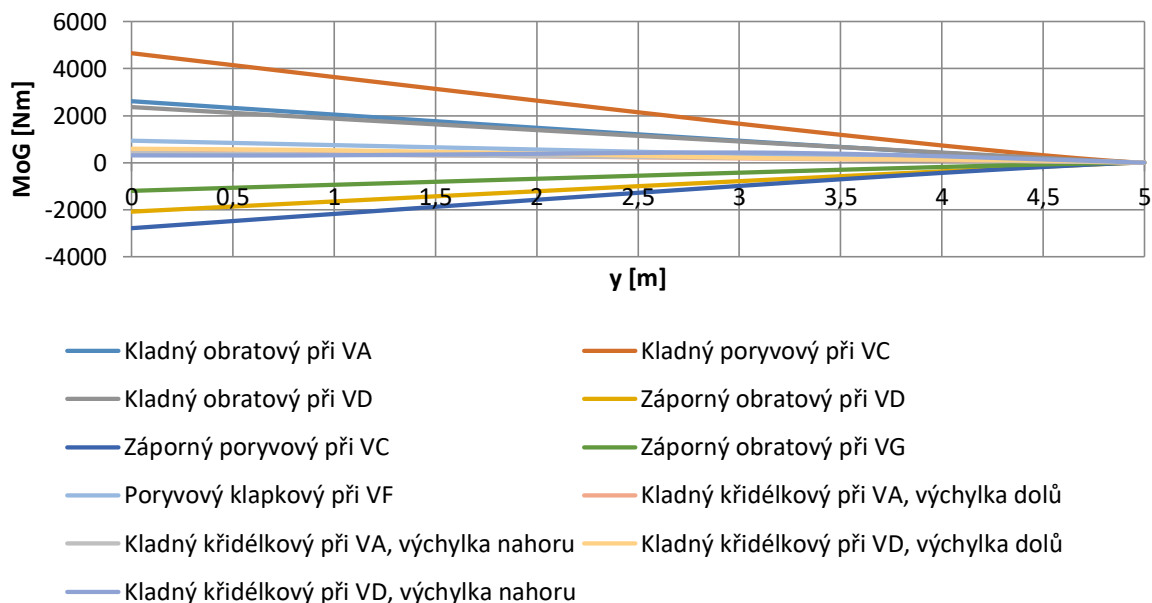
Výsledný ohybový moment – 426,45 kg

Rozložení normálové složky posouvající síly po polorozpětí



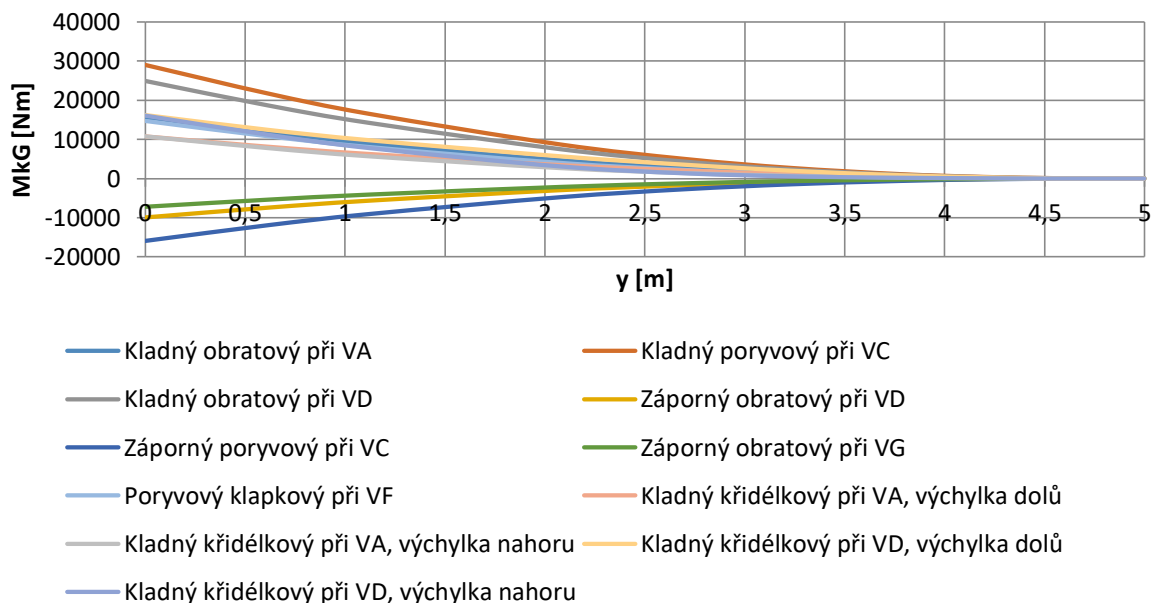
Normálová složka posouvající síly – 426,45 kg

Rozložení tečné složky posouvající síly po polorozpětí



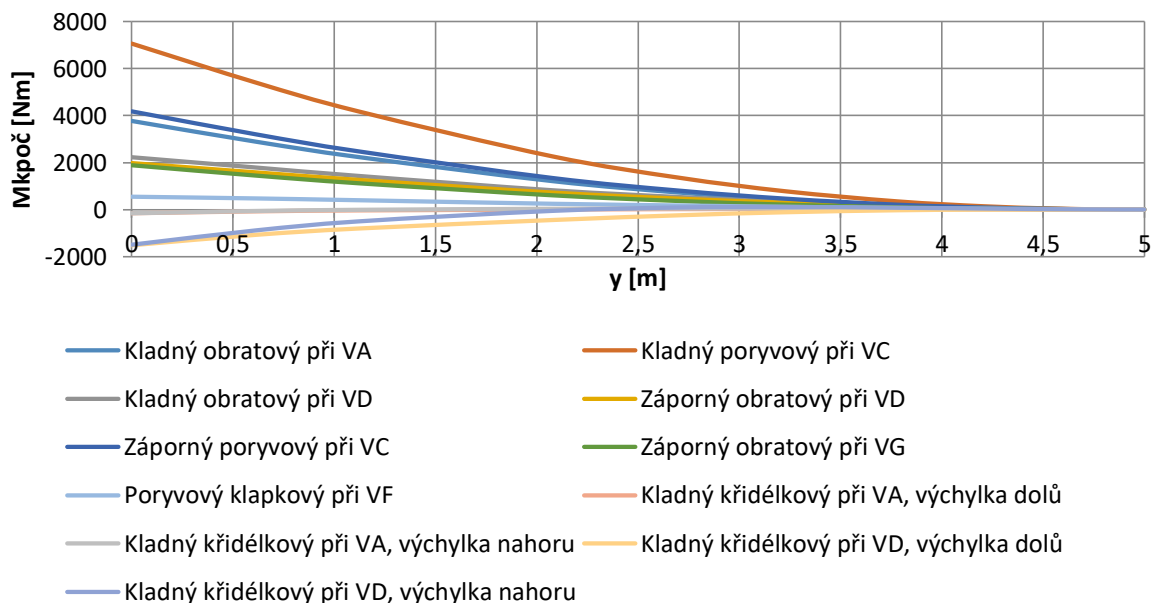
Tečná složka posouvající síly – 426,45 kg

Rozložení normálové složky ohybového momentu po polorozpětí



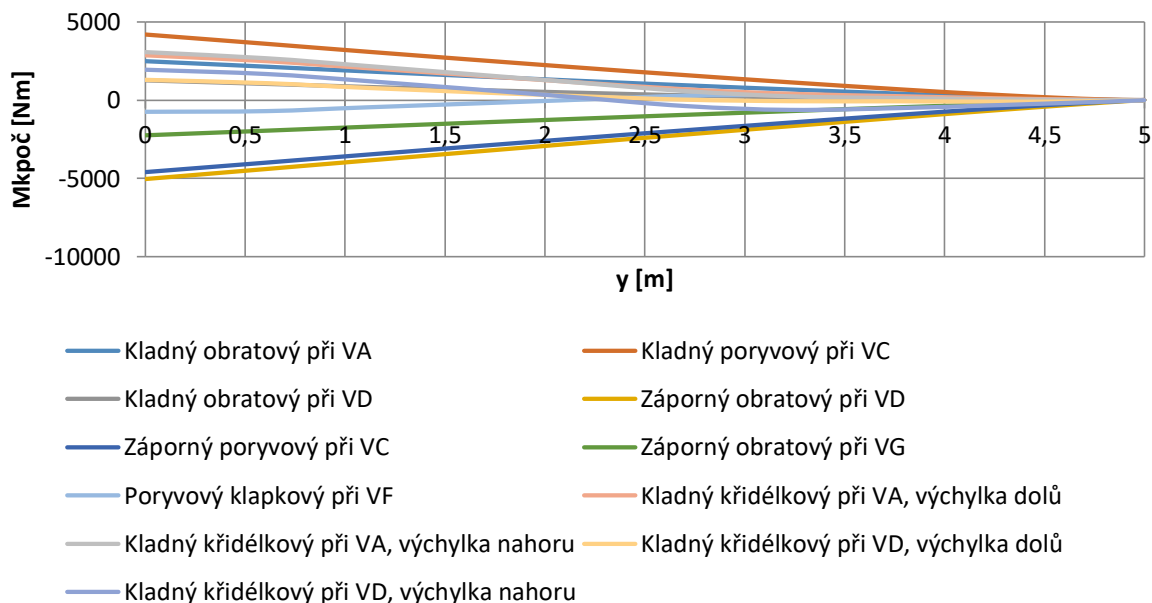
Normálová složka ohybového momentu – 426,45 kg

Rozložení tečné složky ohybového momentu po polorozpětí



Tečná složka ohybového momentu – 426,45 kg

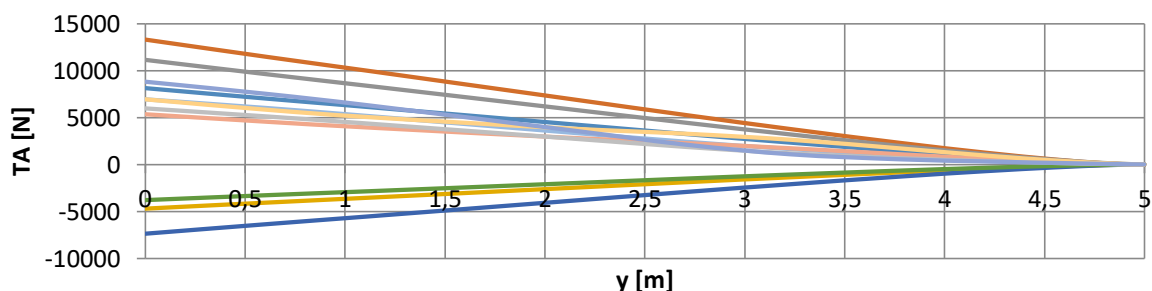
Rozložení celkového početního kroučícího momentu k EO po polorozpětí



Celkový početní kroučící moment k EO – 426,45 kg

Hmotová konfigurace 476,45 kg

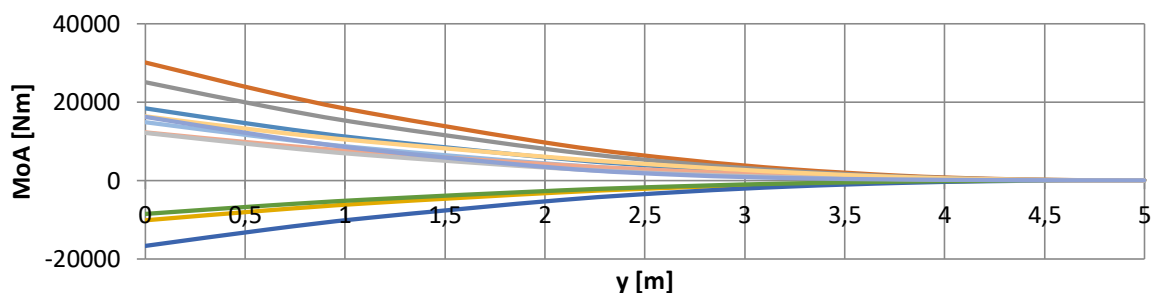
Rozložení výsledné posouvající síly po polorozpětí



- Kladný obratový při VA
- Kladný obratový při VD
- Záporný poryvový při VC
- Poryvový klapkový při VF
- Kladný křídélkový při VA, výchylka nahoru
- Kladný křídélkový při VD, výchylka nahoru
- Kladný poryvový při VC
- Záporný obratový při VD
- Záporný obratový při VG
- Kladný křídélkový při VA, výchylka dolů
- Kladný křídélkový při VD, výchylka dolů

Výsledná posouvající síla 476,45 kg

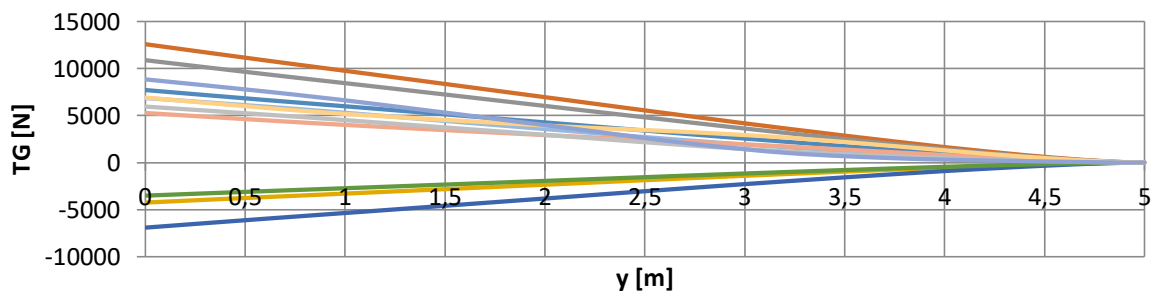
Rozložení výsledného ohybového momentu po polorozpětí



- Kladný obratový při VA
- Kladný obratový při VD
- Záporný poryvový při VC
- Poryvový klapkový při VF
- Kladný křídélkový při VA, výchylka nahoru
- Kladný křídélkový při VD, výchylka nahoru
- Kladný poryvový při VC
- Záporný obratový při VD
- Záporný obratový při VG
- Kladný křídélkový při VA, výchylka dolů
- Kladný křídélkový při VD, výchylka dolů

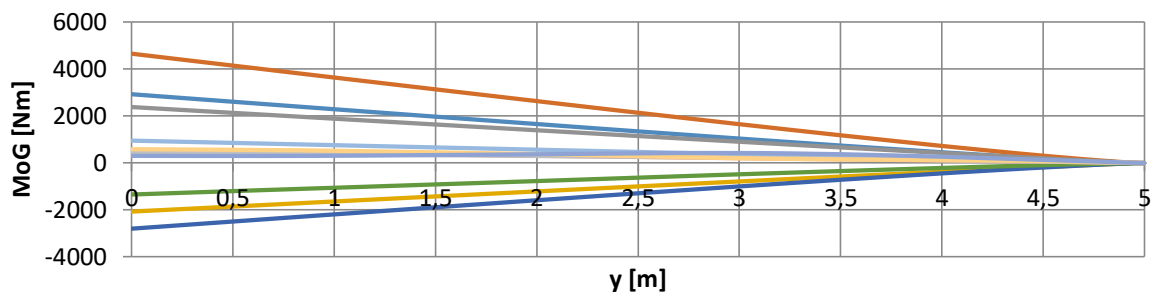
Výsledný ohybový moment – 476,45 kg

Rozložení normálové složky posouvající síly po polorozpětí



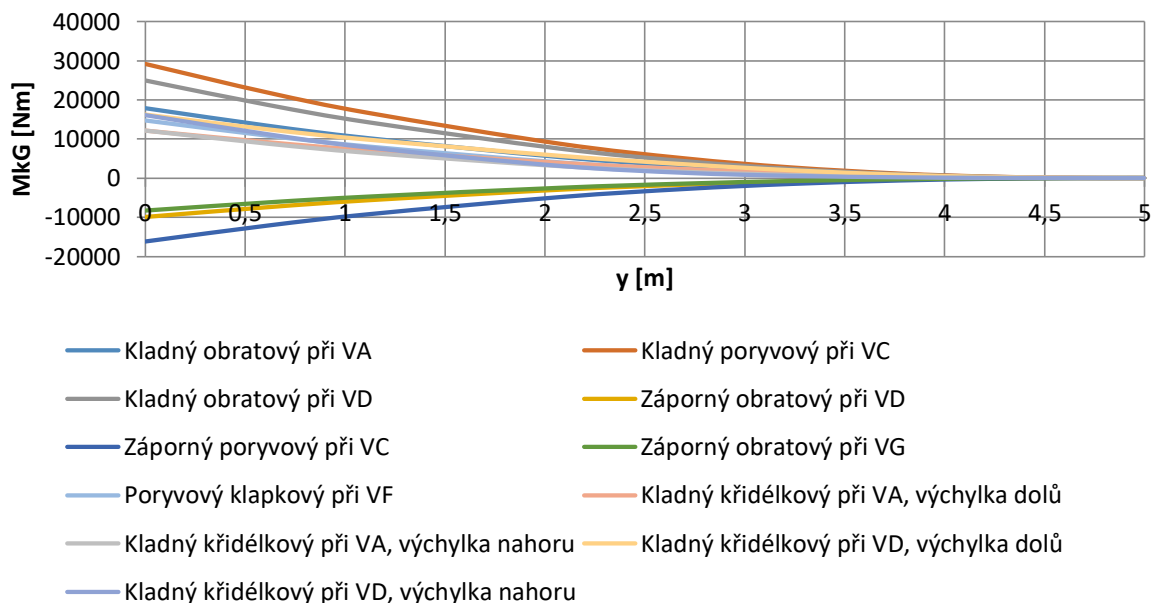
Normálová složka posouvající síly – 476,45 kg

Rozložení tečné složky posouvající síly po polorozpětí



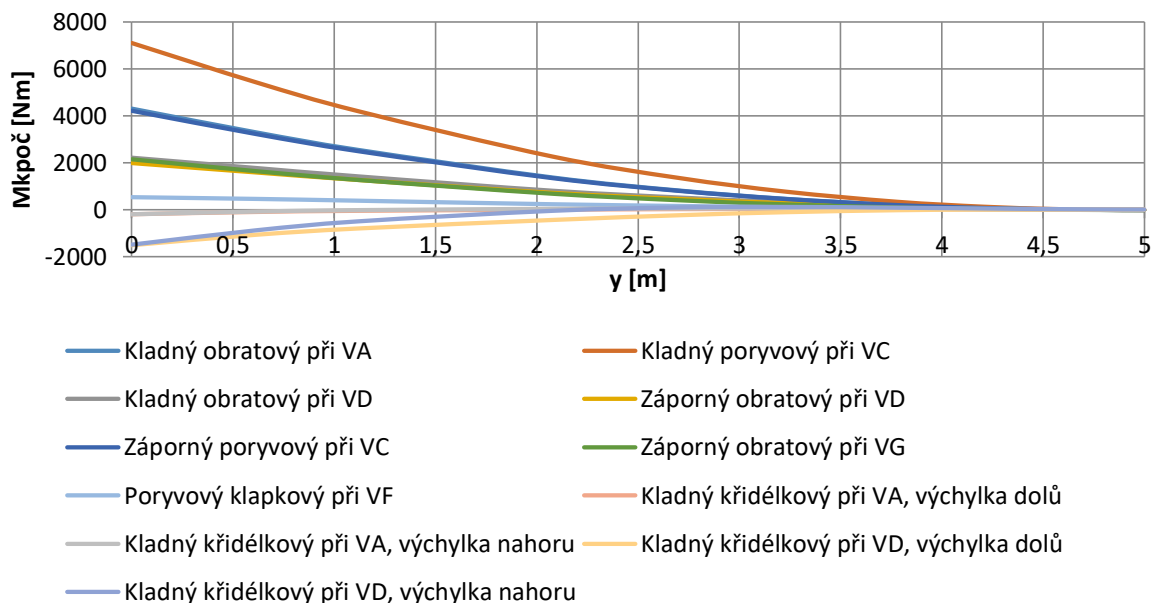
Tečná složka posouvající síly – 476,45 kg

Rozložení normálové složky ohybového momentu po polorozpětí



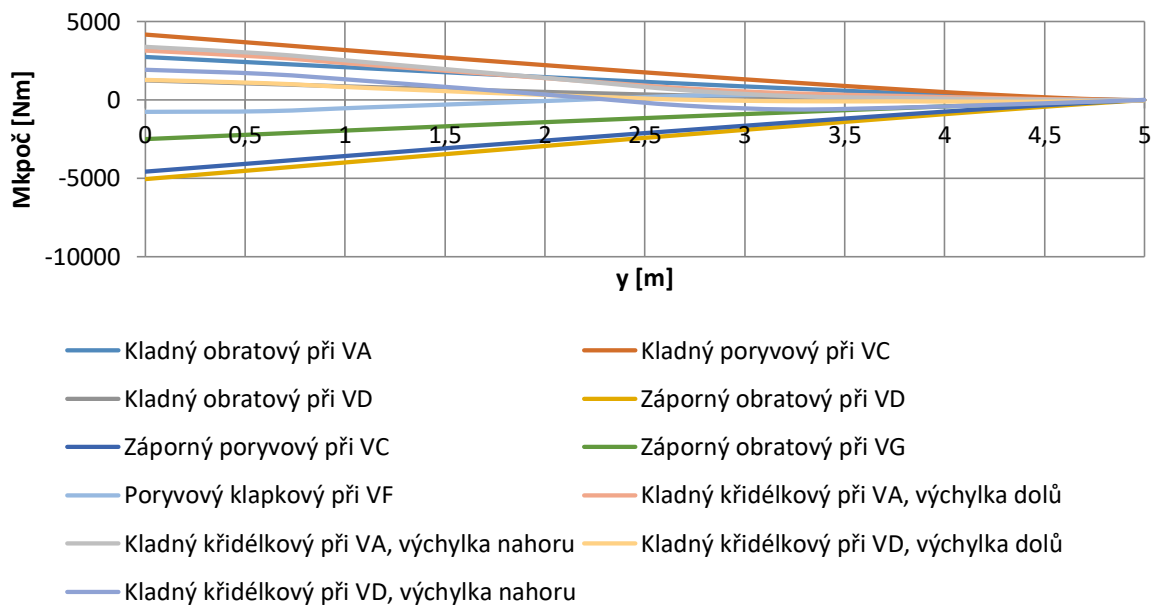
Normálová složka ohybového momentu – 476,45 kg

Rozložení tečné složky ohybového momentu po polorozpětí



Tečná složka ohybového momentu – 476,45 kg

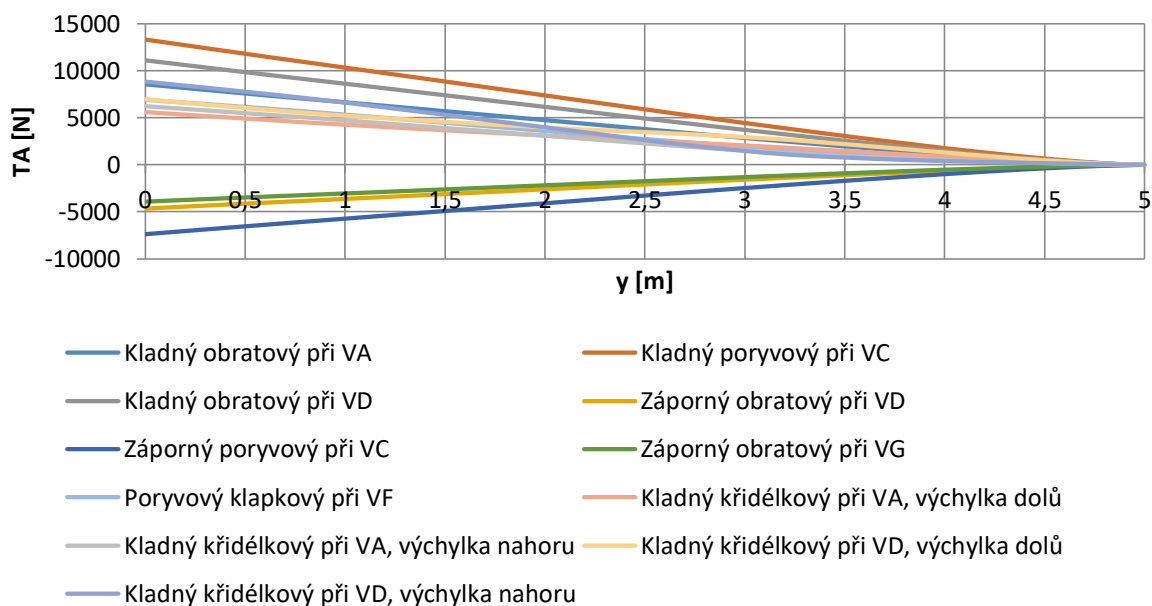
Rozložení celkového početního krouticího momentu k EO po polorozpětí



Celkový početní krouticí moment k EO – 476,45 kg

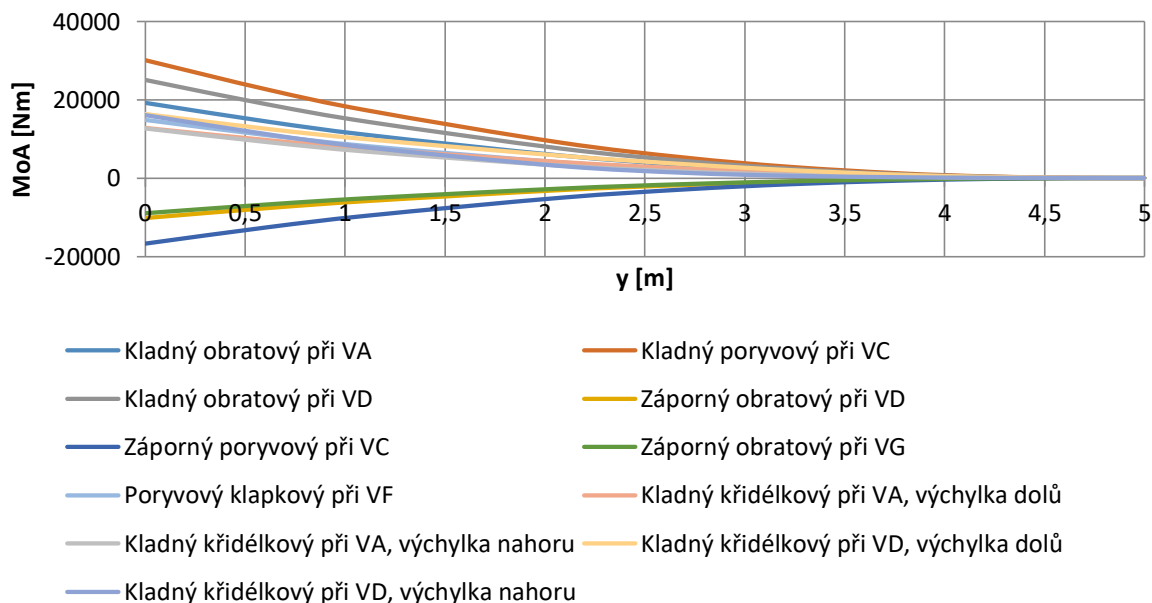
Hmotová konfigurace 496,45 kg

Rozložení výsledné posouvající síly po polorozpětí



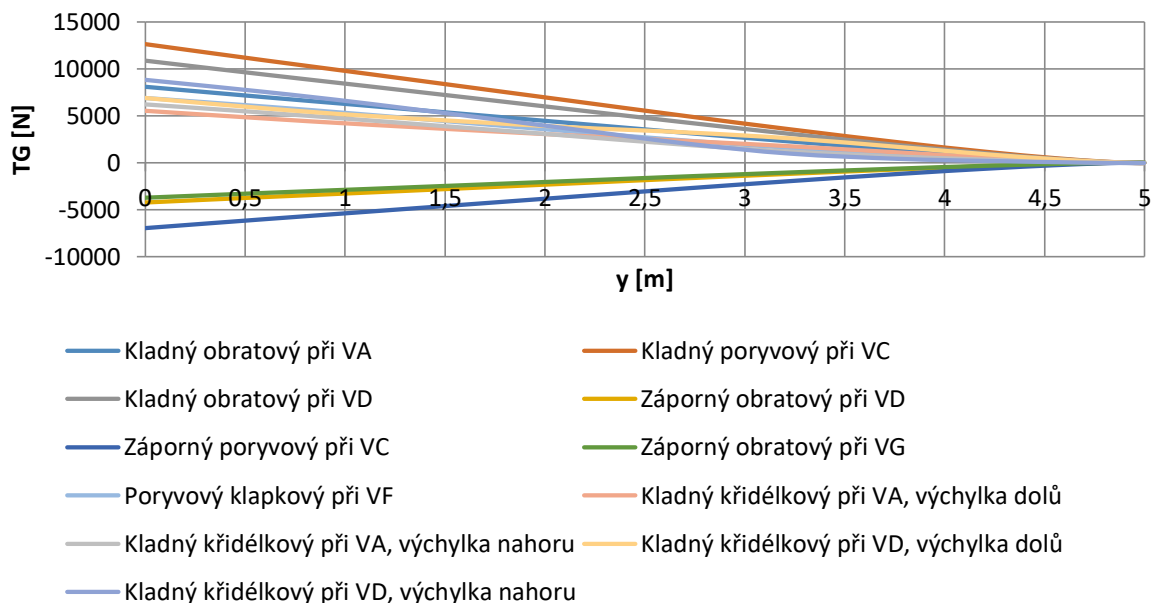
Výsledná posouvající síla – 496,45 kg

Rozložení výsledného ohybového momentu po polorozpětí



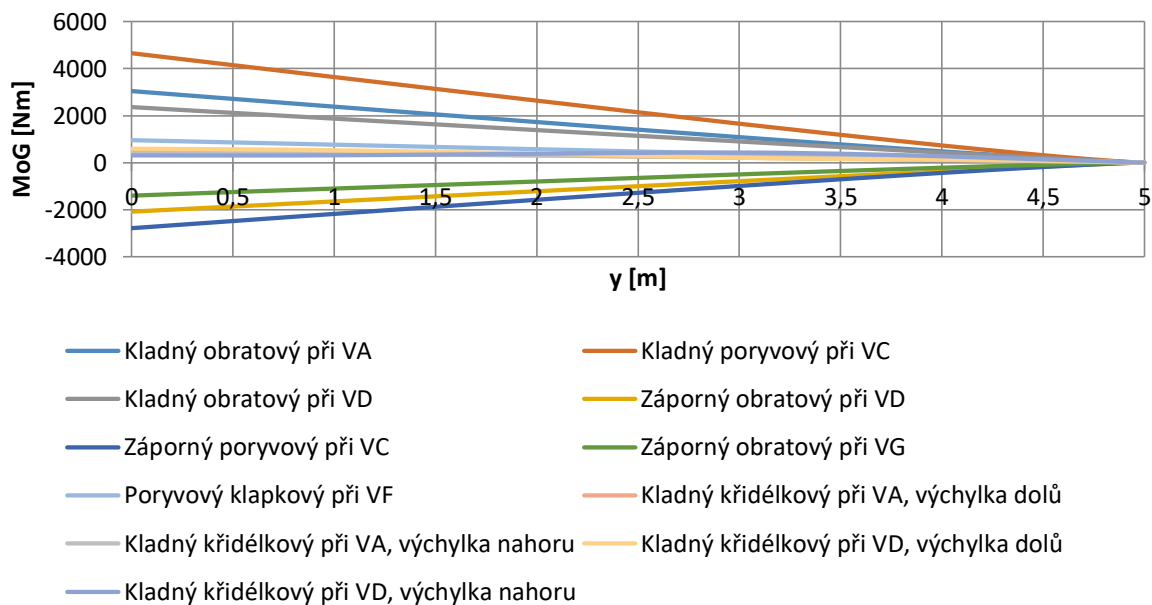
Výsledný ohybový moment – 496,45 kg

Rozložení normálové složky posouvající síly po polorozpětí



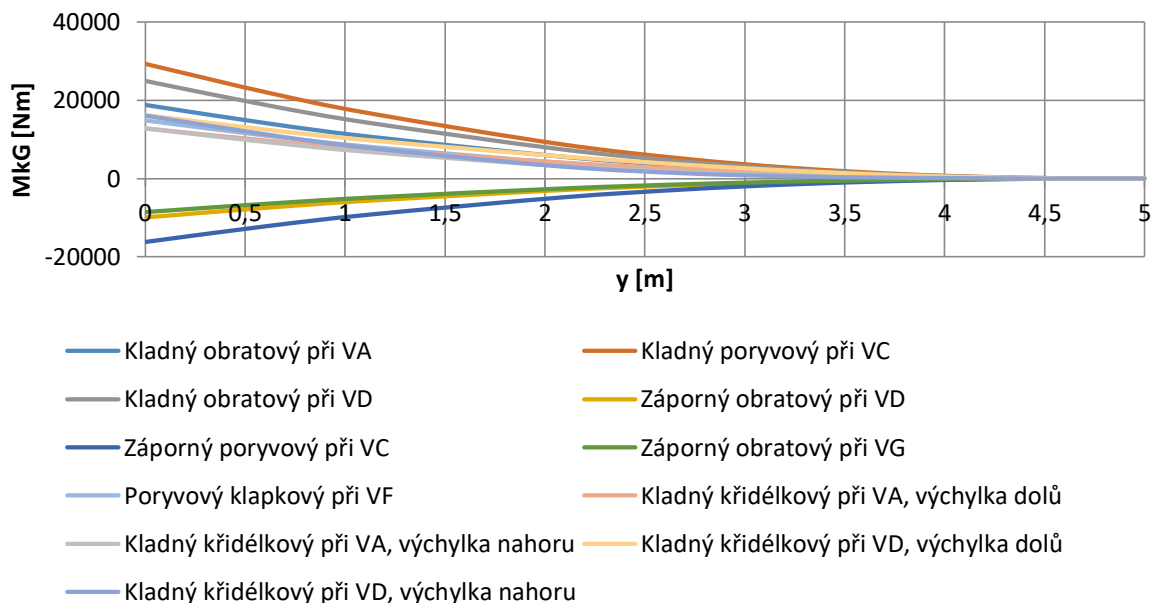
Normálová složka posouvající síly – 496,45 kg

Rozložení tečné složky posouvající síly po polorozpětí



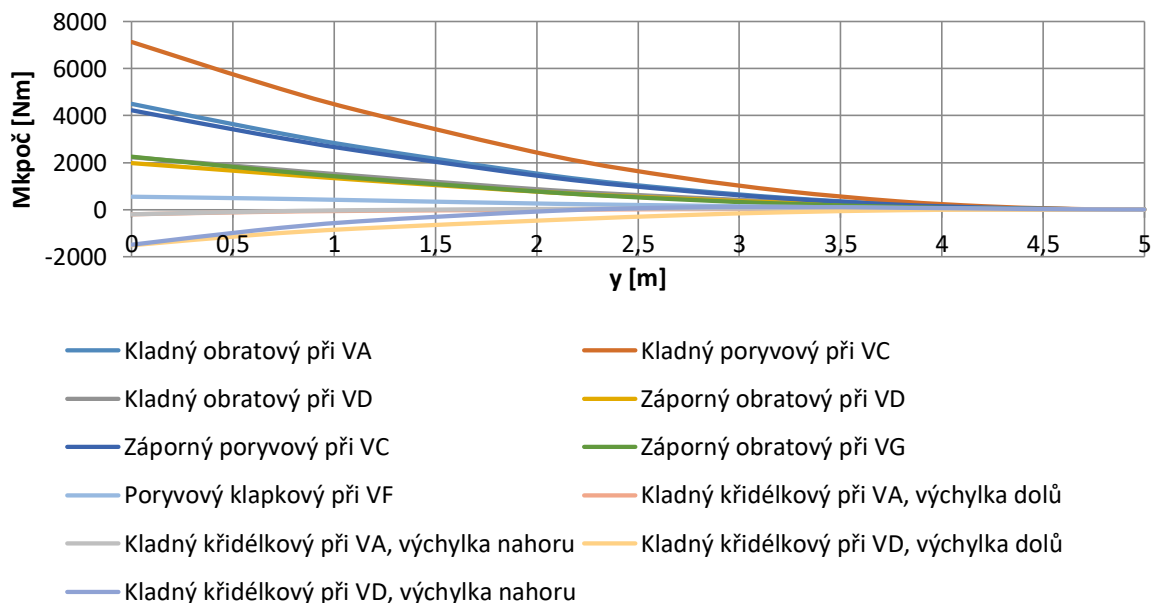
Tečná složka posouvající síly – 496,45 kg

Rozložení normálové složky ohybového momentu po polorozpětí



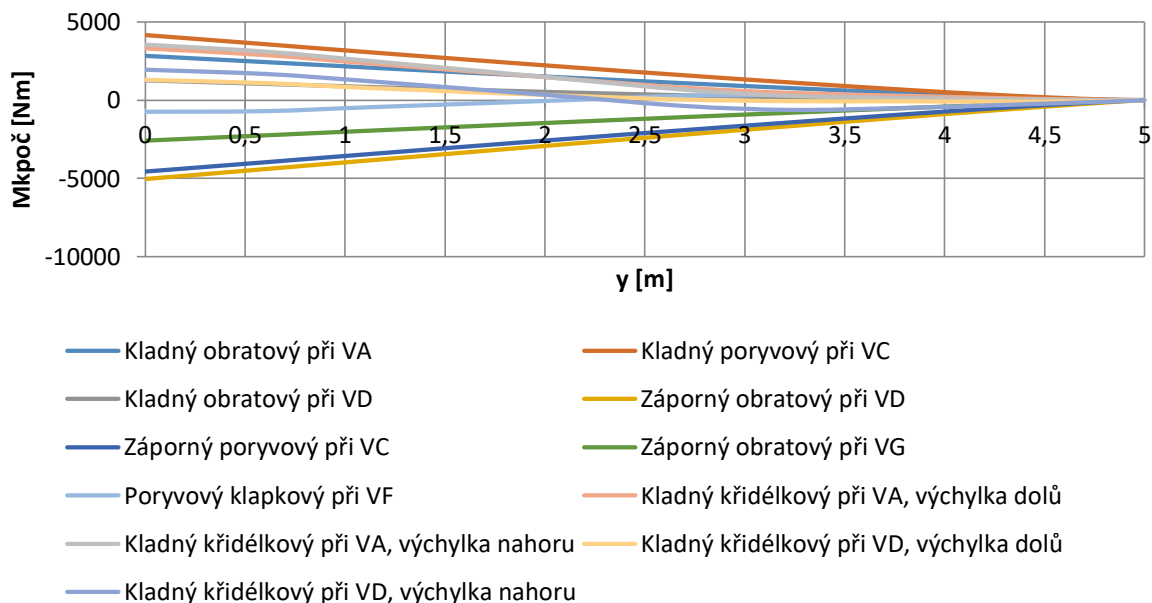
Normálová složka ohybového momentu – 496,45 kg

Rozložení tečné složky ohybového momentu po polorozpětí



Tečná složka ohybového momentu – 496,45 kg

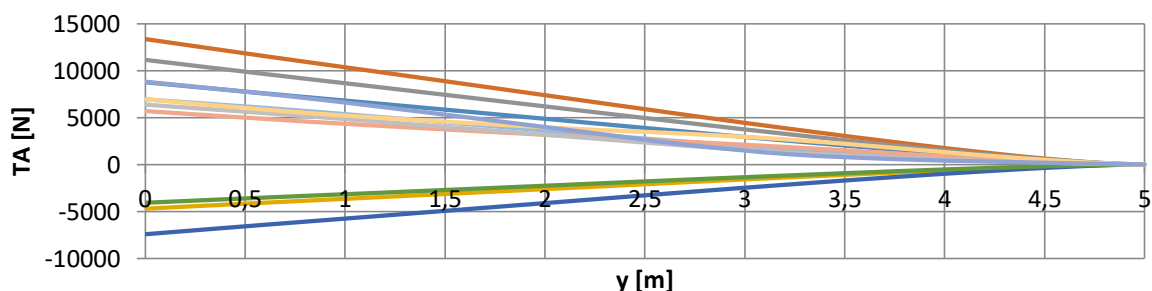
Rozložení celkového početního krouticího momentu k EO po polorozpětí



Celkový početní krouticí moment k EO – 496,45 kg

Hmotová konfigurace 506,45 kg

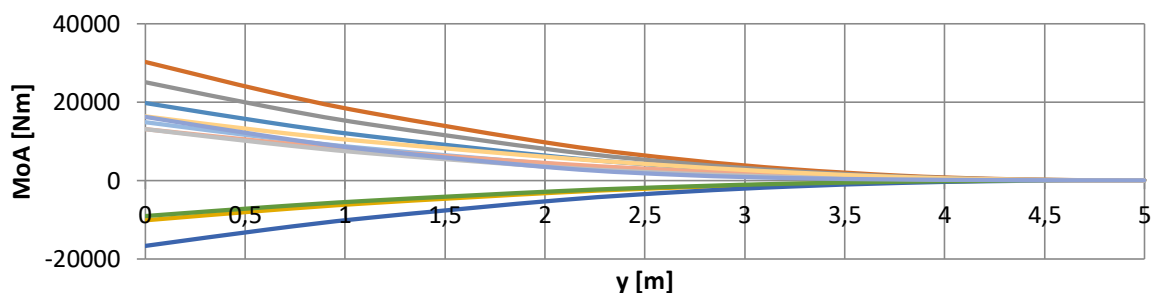
Rozložení výsledné posouvající síly po polorozpětí



- Kladný obratový při VA
- Kladný obratový při VD
- Záporný poryvový při VC
- Poryvový klapkový při VF
- Kladný křídélkový při VA, výchylka nahoru
- Kladný křídélkový při VD, výchylka nahoru
- Kladný poryvový při VC
- Záporný obratový při VD
- Záporný obratový při VG
- Kladný křídélkový při VA, výchylka dolů
- Kladný křídélkový při VD, výchylka dolů

Výsledná posouvající síla – 506,45 kg

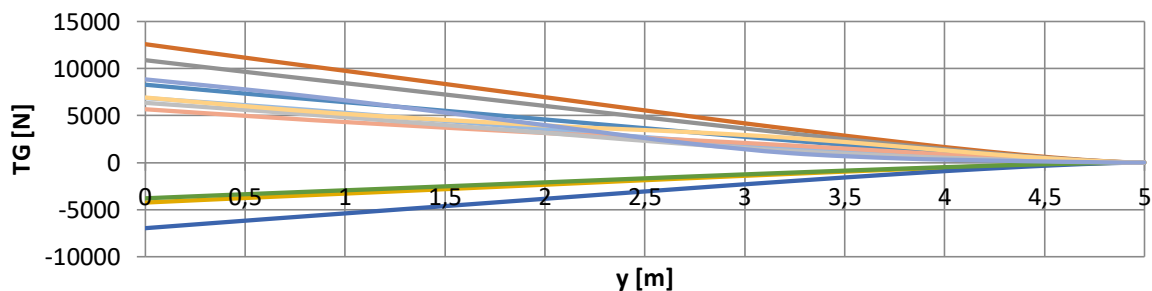
Rozložení výsledného ohybového momentu po polorozpětí



- Kladný obratový při VA
- Kladný obratový při VD
- Záporný poryvový při VC
- Poryvový klapkový při VF
- Kladný křídélkový při VA, výchylka nahoru
- Kladný křídélkový při VD, výchylka nahoru
- Kladný poryvový při VC
- Záporný obratový při VD
- Záporný obratový při VG
- Kladný křídélkový při VA, výchylka dolů
- Kladný křídélkový při VD, výchylka dolů

Výsledný ohybový moment – 506,45 kg

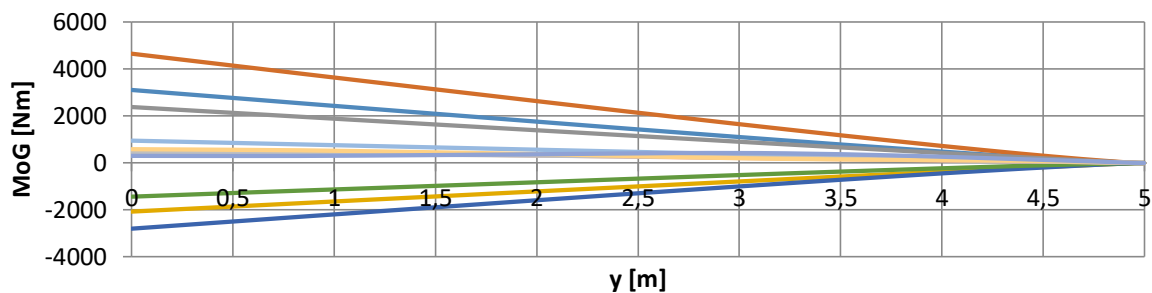
Rozložení normálové složky posouvající síly po polorozpětí



- Kladný obratový při VA
- Kladný obratový při VD
- Záporný poryvový při VC
- Poryvový klapkový při VF
- Kladný křídélkový při VA, výchylka nahoru
- Kladný křídélkový při VD, výchylka nahoru
- Kladný poryvový při VC
- Záporný obratový při VD
- Záporný obratový při VG
- Kladný křídélkový při VA, výchylka dolů
- Kladný křídélkový při VD, výchylka dolů

Normálová složka posouvající síly – 506,45 kg

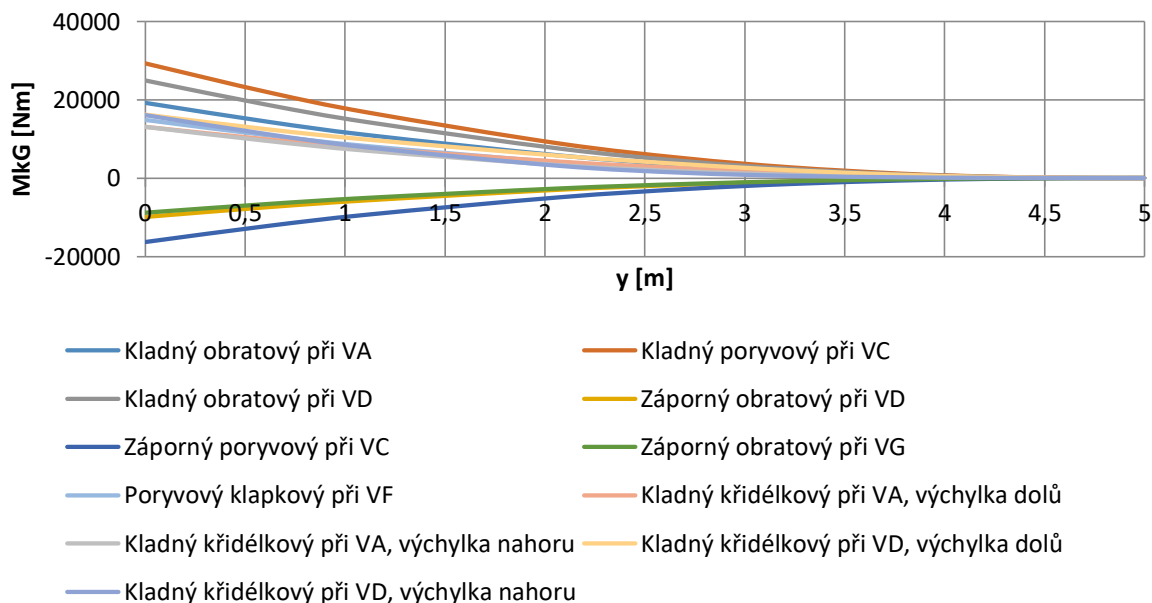
Rozložení tečné složky posouvající síly po polorozpětí



- Kladný obratový při VA
- Kladný obratový při VD
- Záporný poryvový při VC
- Poryvový klapkový při VF
- Kladný křídélkový při VA, výchylka nahoru
- Kladný křídélkový při VD, výchylka nahoru
- Kladný poryvový při VC
- Záporný obratový při VD
- Záporný obratový při VG
- Kladný křídélkový při VA, výchylka dolů
- Kladný křídélkový při VD, výchylka dolů

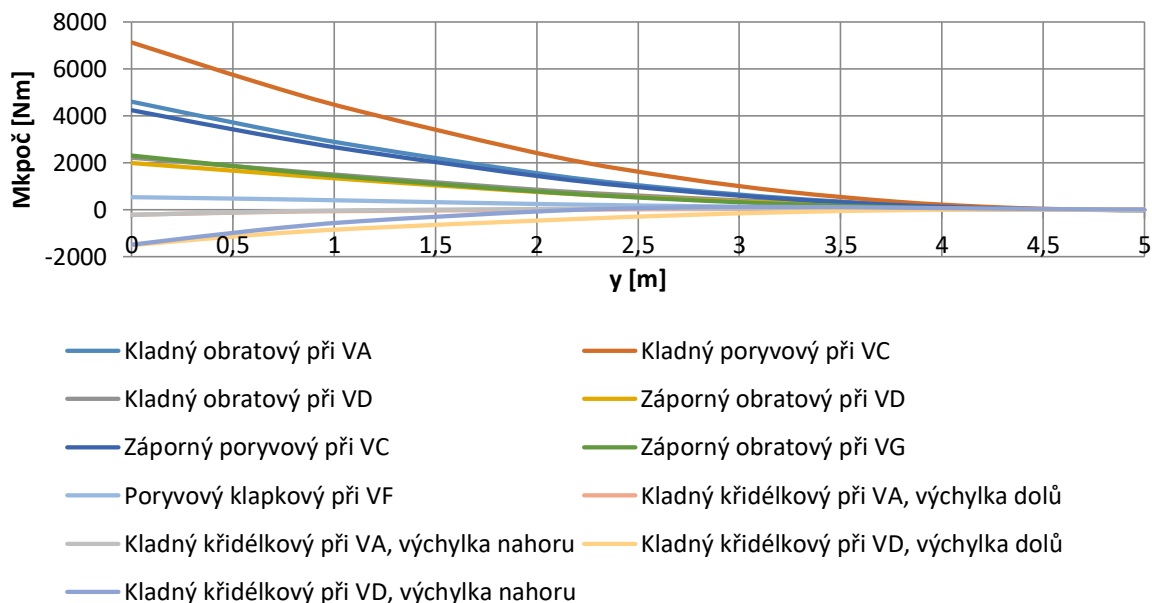
Tečná složka posouvající síly – 506,45 kg

Rozložení normálové složky ohybového momentu po polorozpětí



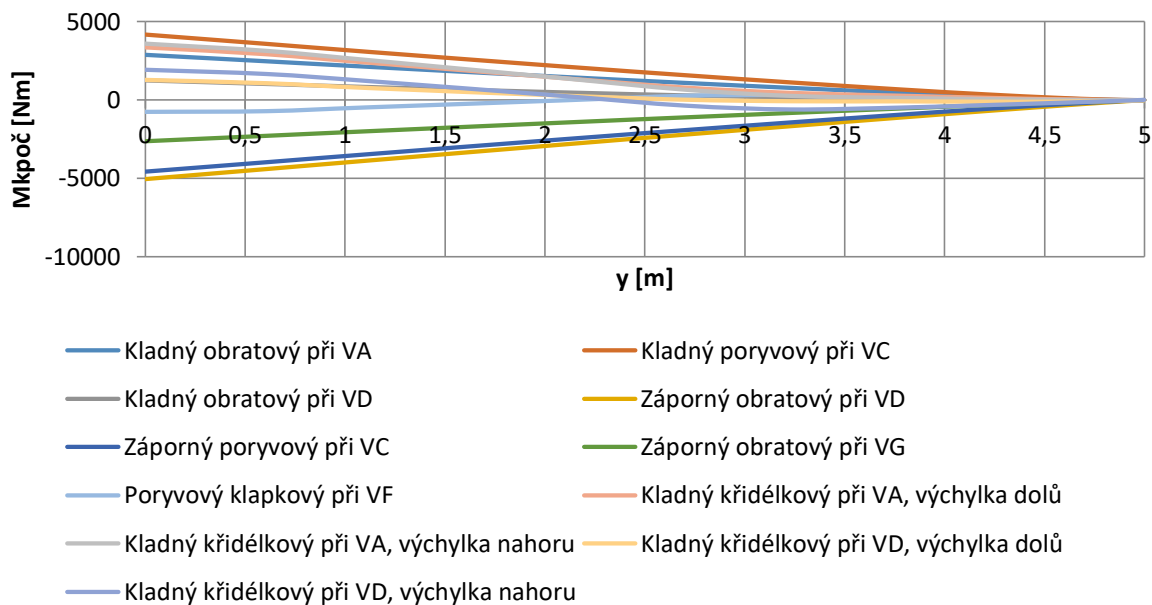
Normálová složka ohybového momentu – 506,45 kg

Rozložení tečné složky ohybového momentu po polorozpětí



Tečná složka ohybového momentu – 506,45 kg

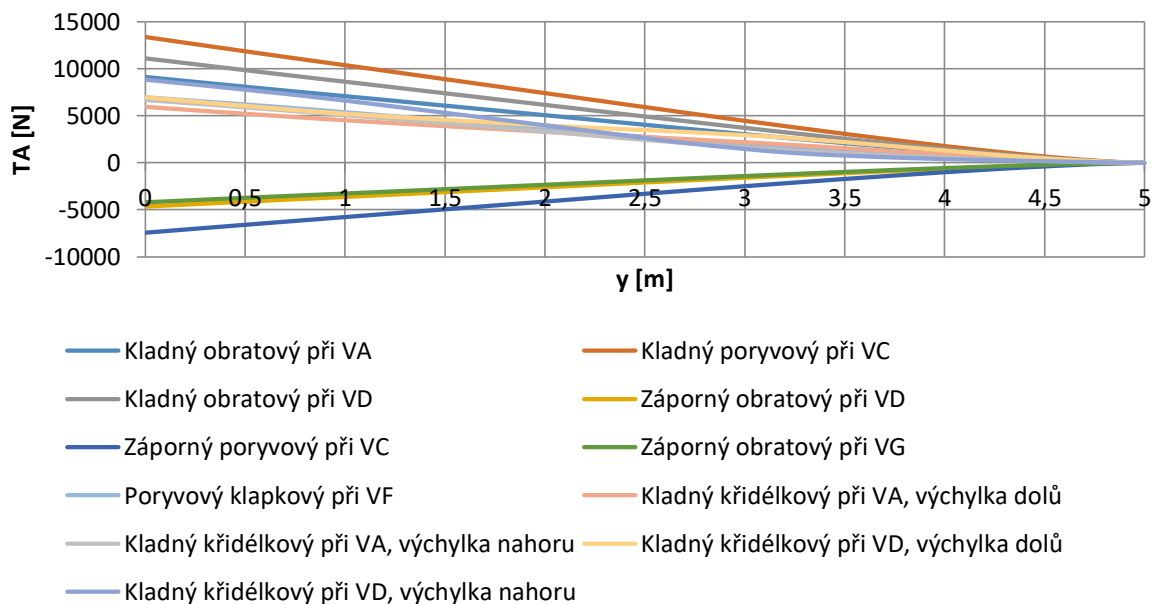
Rozložení celkového početního krouticího momentu k EO po polorozpětí



Celkový početní krouticí moment k EO – 506,45 kg

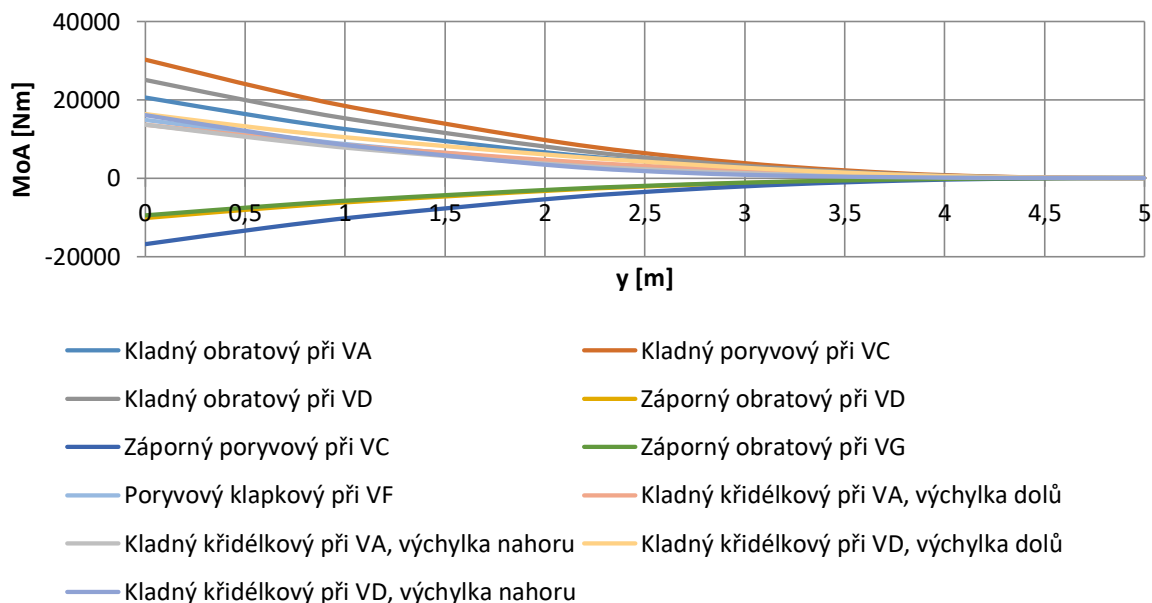
Hmotová konfigurace 526,45 kg

Rozložení výsledné posouvající síly po polorozpětí



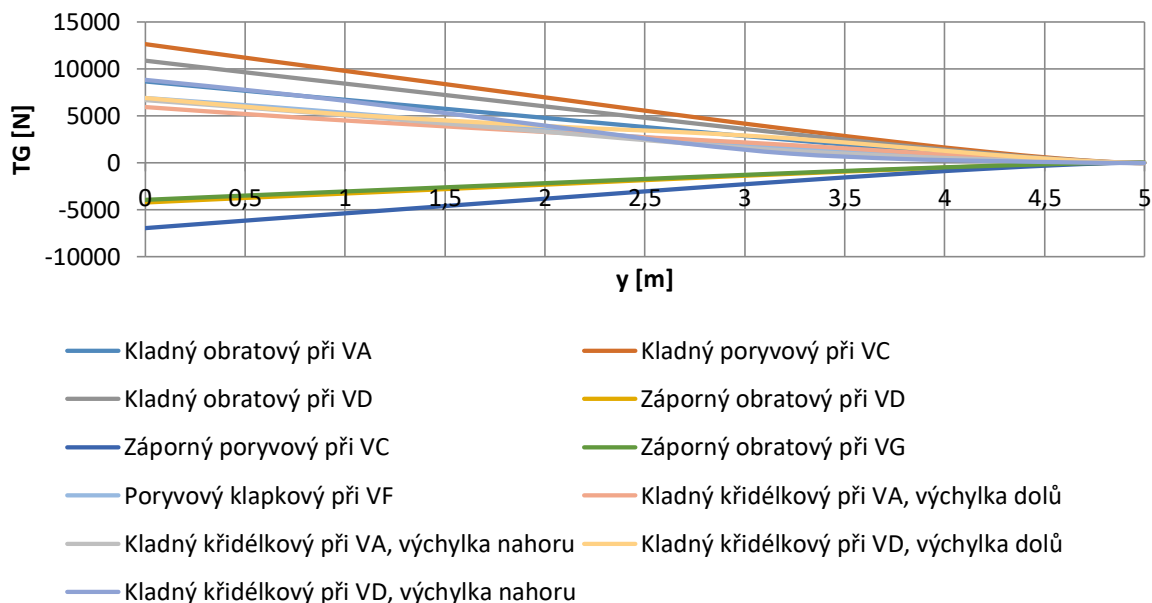
Výsledná posouvající síla – 526,45 kg

Rozložení výsledného ohybového momentu po polorozpětí



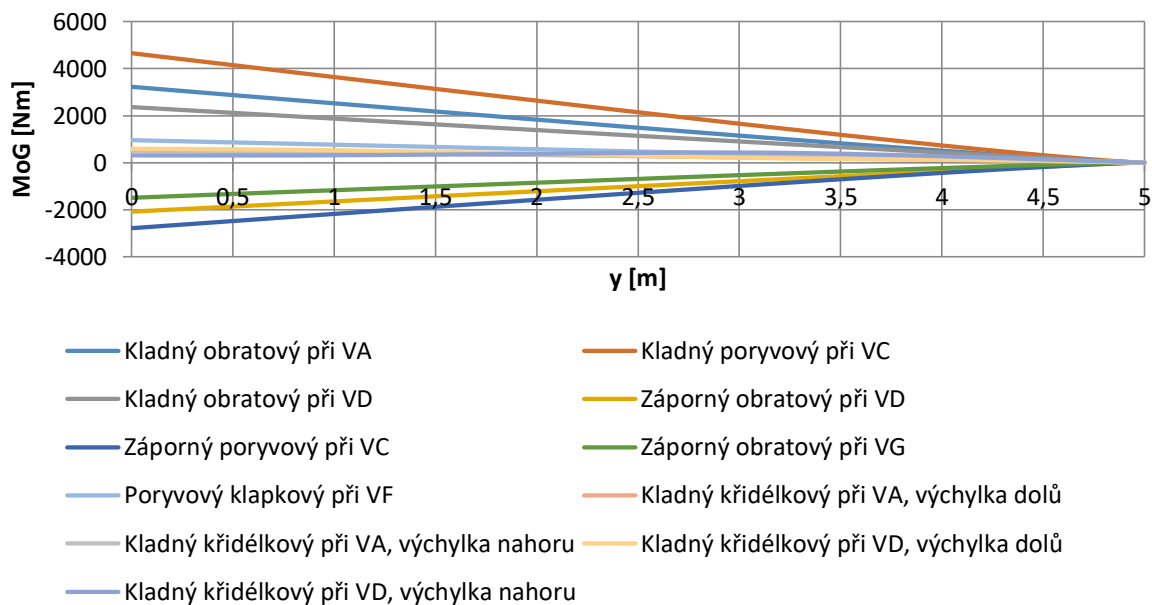
Výsledný ohybový moment – 526,45 kg

Rozložení normálové složky posouvající síly po polorozpětí



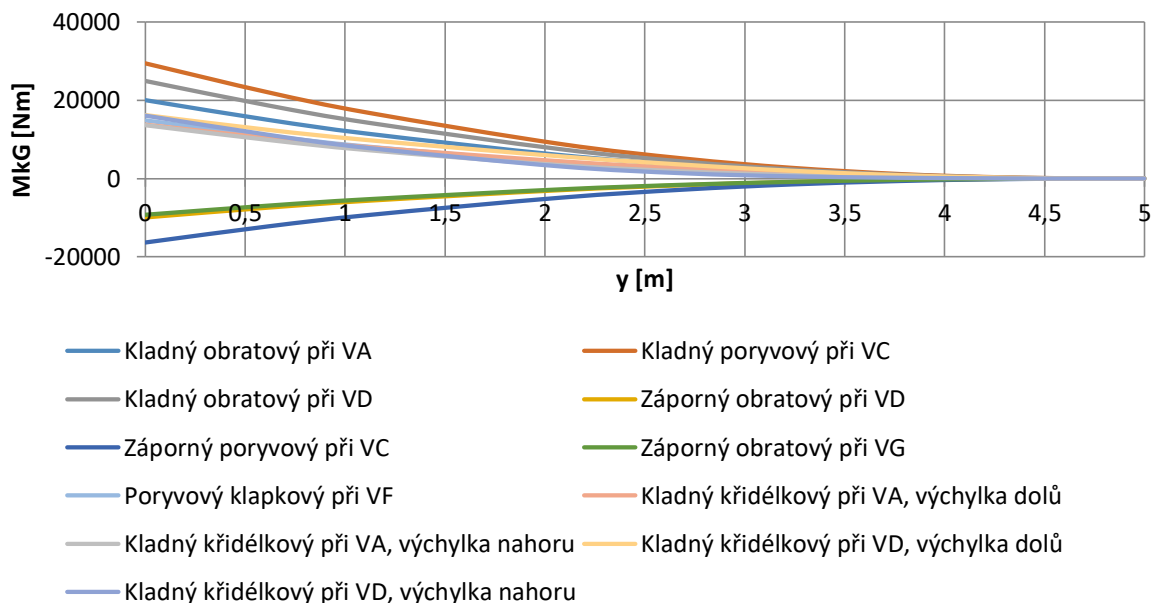
Normálová složka posouvající síly – 526,45 kg

Rozložení tečné složky posouvající síly po polorozpětí



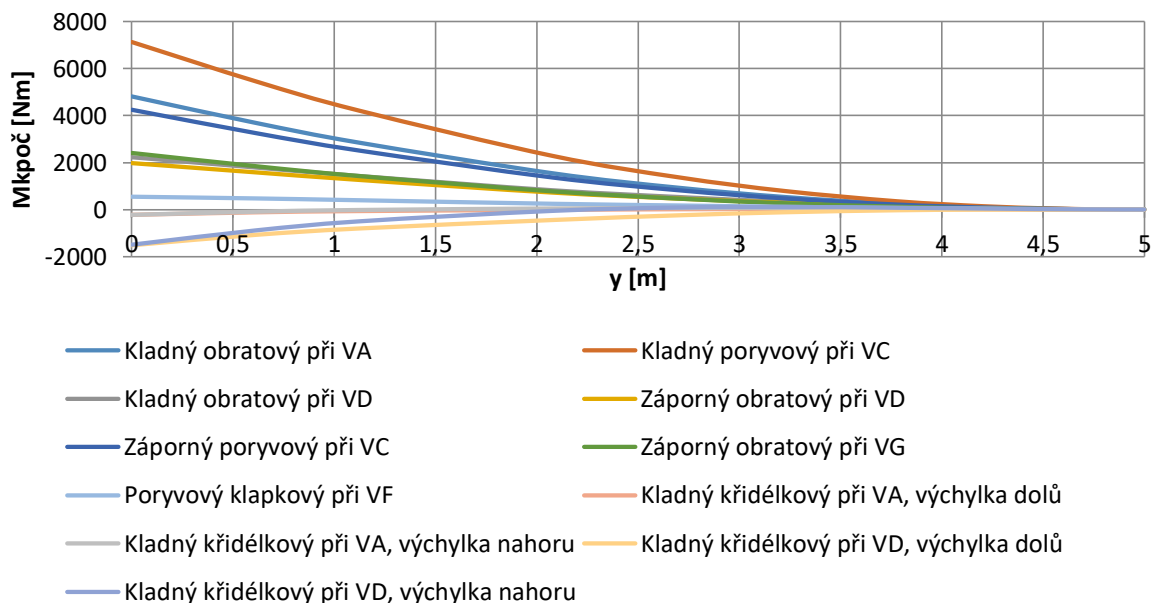
Tečná složka posouvající síly – 526,45 kg

Rozložení normálové složky ohybového momentu po polorozpětí



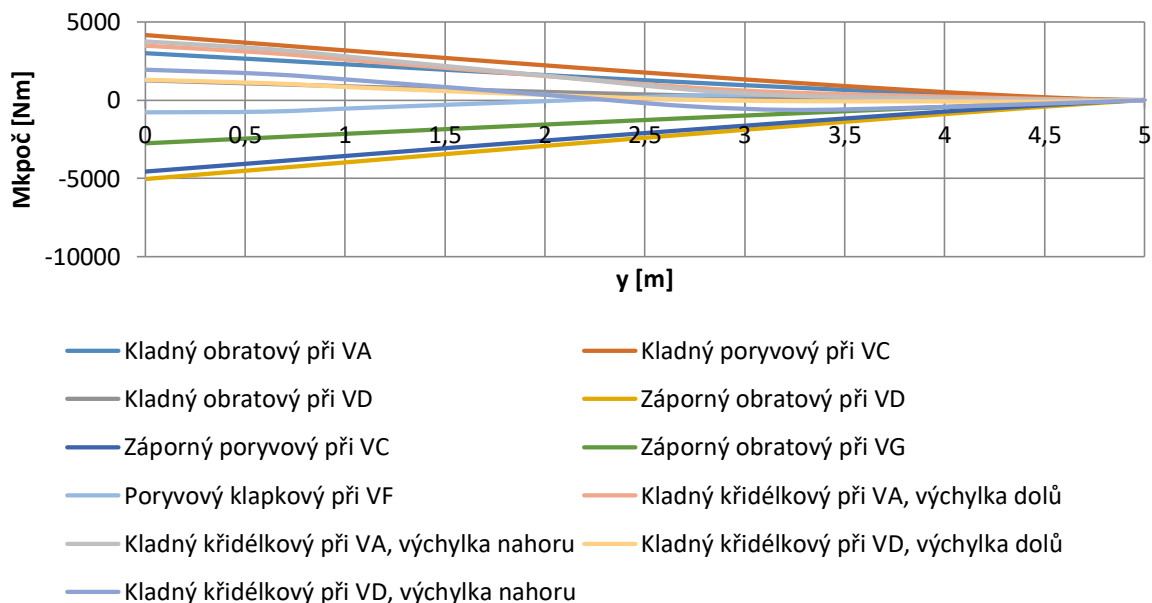
Normálová složka ohybového momentu – 526,45 kg

Rozložení tečné složky ohybového momentu po polorozpětí



Tečná složka ohybového momentu – 526,45 kg

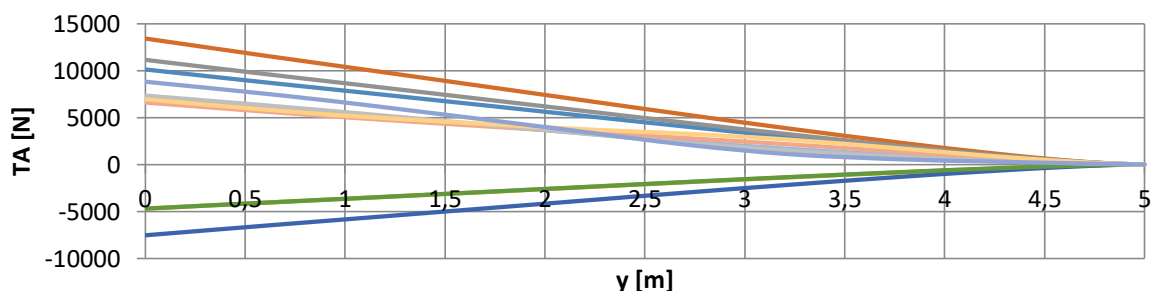
Rozložení celkového početního krouticího momentu k EO po polorozpětí



Celkový početní krouticí moment k EO – 526,45 kg

Hmotová konfigurace 576,45 kg

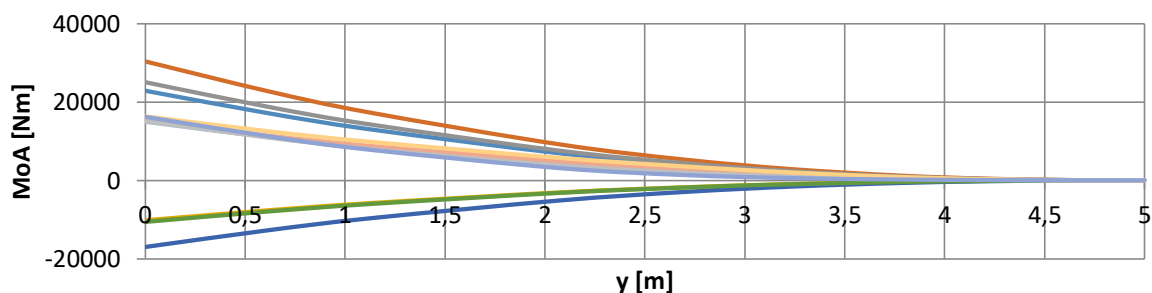
Rozložení výsledné posouvající síly po polorozpětí



- Kladný obratový při VA
- Kladný obratový při VD
- Záporný poryvový při VC
- Poryvový klapkový při VF
- Kladný křídélkový při VA, výchylka nahoru
- Kladný křídélkový při VD, výchylka nahoru
- Kladný poryvový při VC
- Záporný obratový při VD
- Záporný obratový při VG
- Kladný křídélkový při VA, výchylka dolů
- Kladný křídélkový při VD, výchylka dolů

Výsledná posouvající síla – 576,45 kg

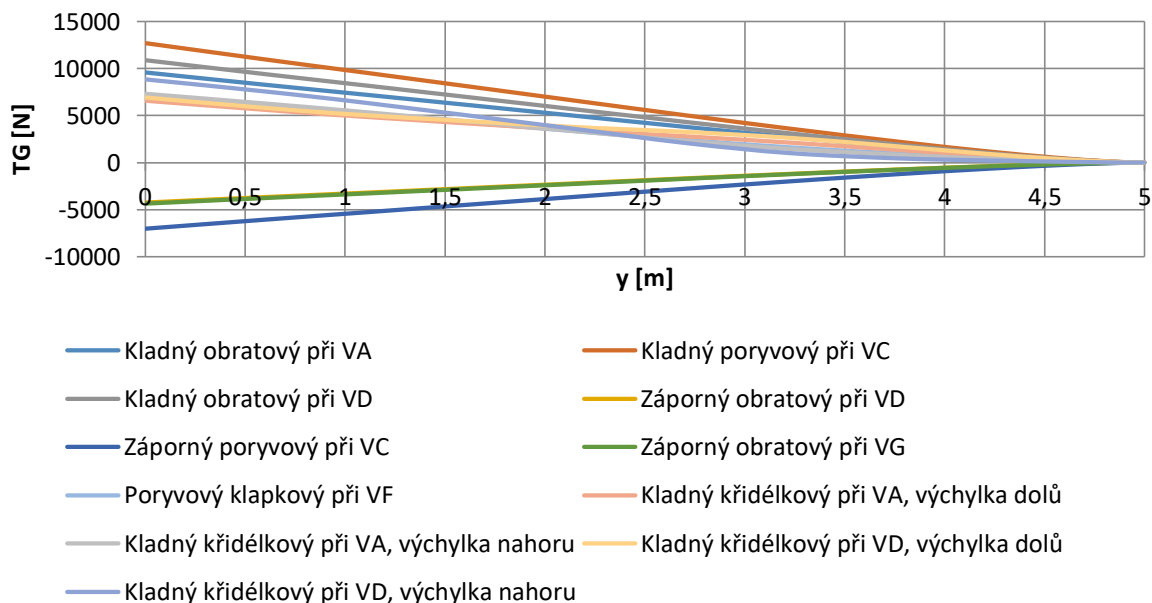
Rozložení výsledného ohybového momentu po polorozpětí



- Kladný obratový při VA
- Kladný obratový při VD
- Záporný poryvový při VC
- Poryvový klapkový při VF
- Kladný křídélkový při VA, výchylka nahoru
- Kladný křídélkový při VD, výchylka nahoru
- Kladný poryvový při VC
- Záporný obratový při VD
- Záporný obratový při VG
- Kladný křídélkový při VA, výchylka dolů
- Kladný křídélkový při VD, výchylka dolů

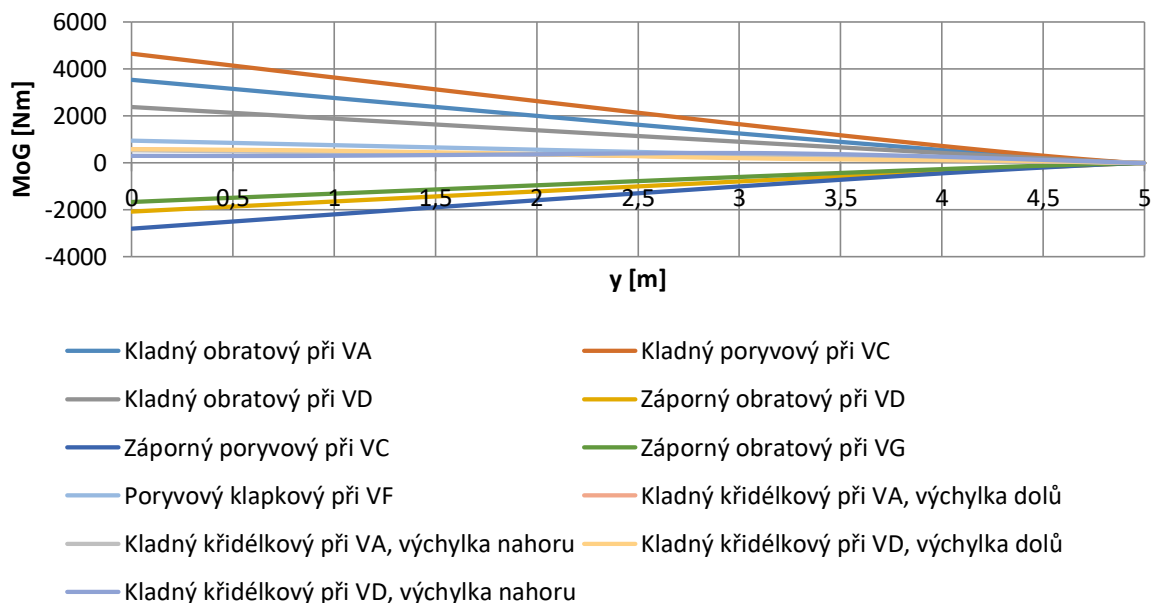
Výsledný ohybový moment – 576,45 kg

Rozložení normálové složky posouvající síly po polorozpětí



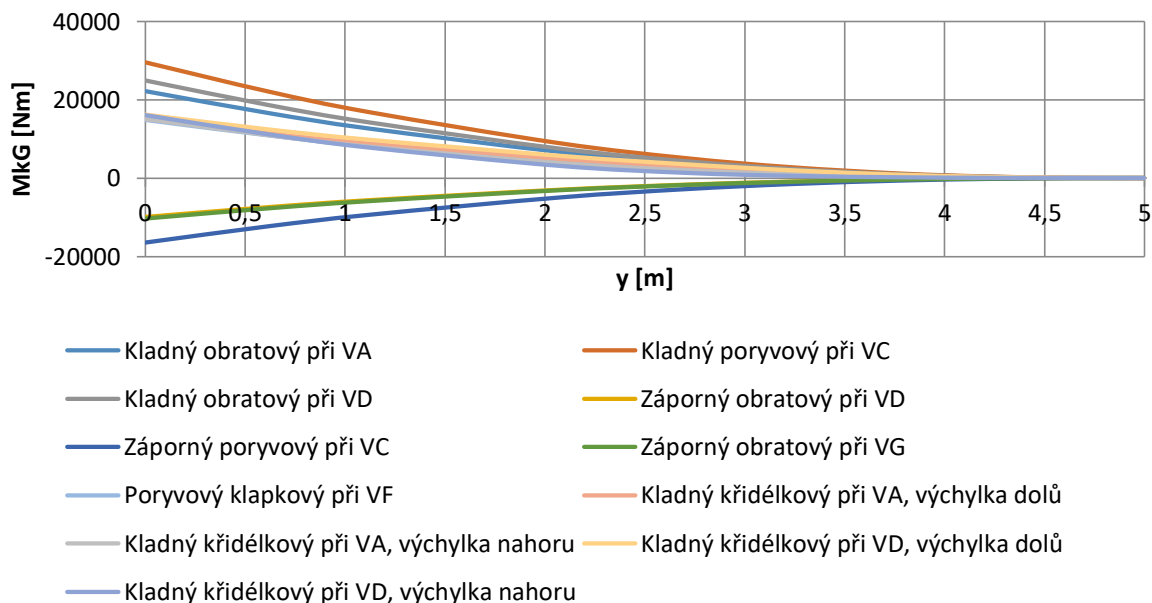
Normálová složka posouvající síly – 576,45 kg

Rozložení tečné složky posouvající síly po polorozpětí



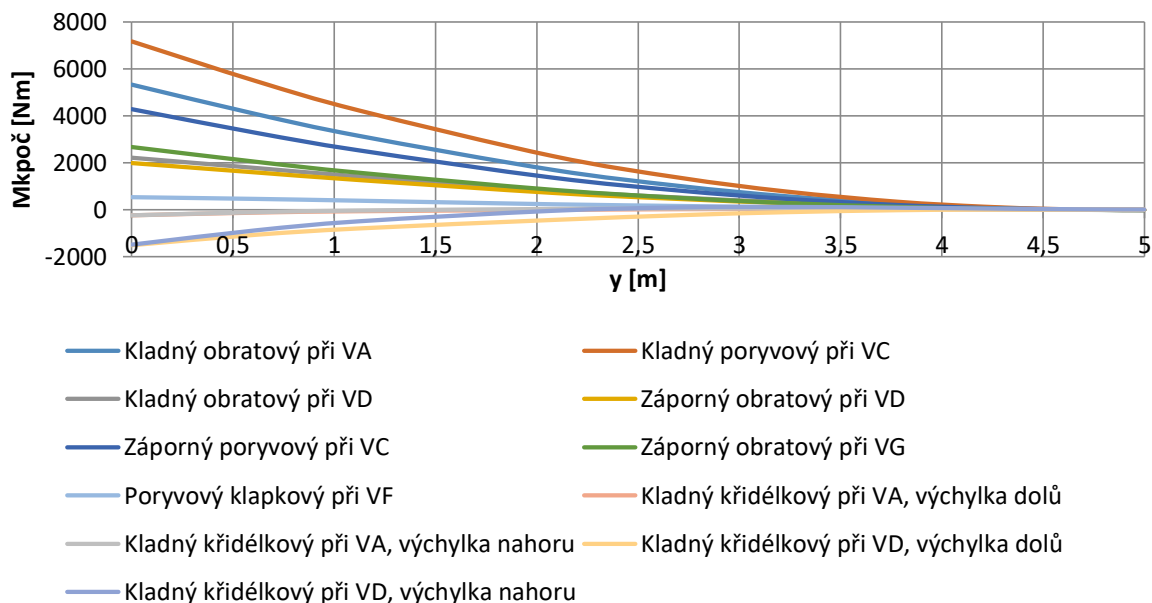
Tečná složka posouvající síly – 576,45 kg

Rozložení normálové složky ohybového momentu po polorozpětí



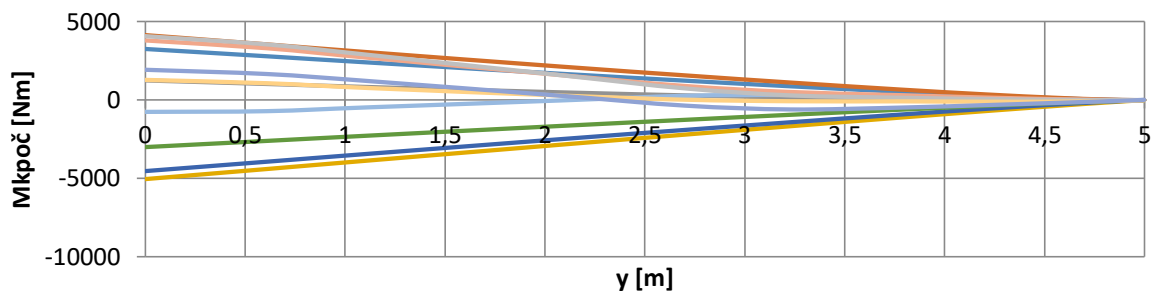
Normálová složka ohybového momentu – 576,45 kg

Rozložení tečné složky ohybového momentu po polorozpětí



Tečná složka ohybového momentu – 576,45 kg

Rozložení celkového početního krouticího momentu k EO po polorozpětí

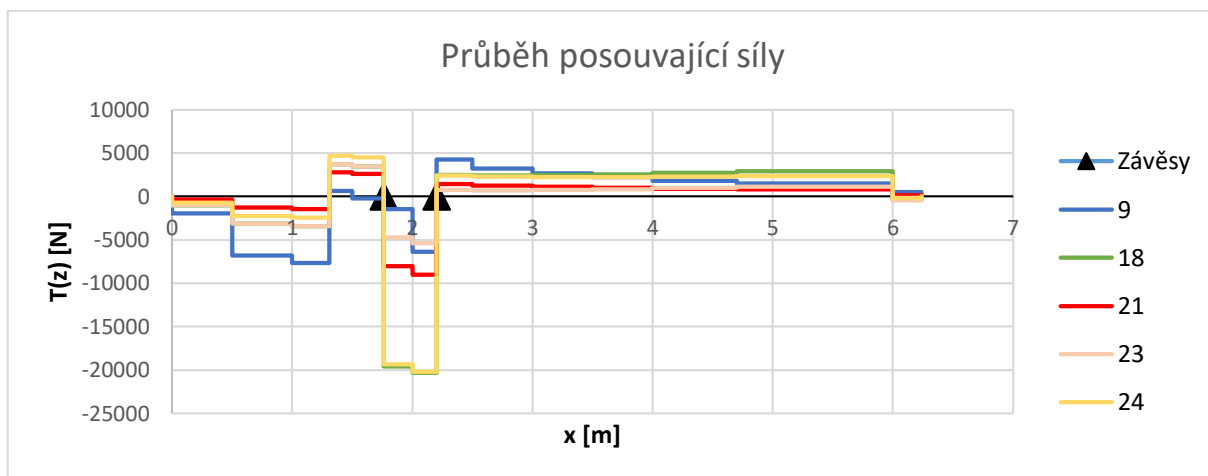


- | | |
|---|---|
| — Kladný obratový při VA | — Kladný poryvový při VC |
| — Kladný obratový při VD | — Záporný obratový při VD |
| — Záporný poryvový při VC | — Záporný obratový při VG |
| — Poryvový klapkový při VF | — Kladný křídélkový při VA, výchylka dolů |
| — Kladný křídélkový při VA, výchylka nahoru | — Kladný křídélkový při VD, výchylka dolů |
| — Kladný křídélkový při VD, výchylka nahoru | |

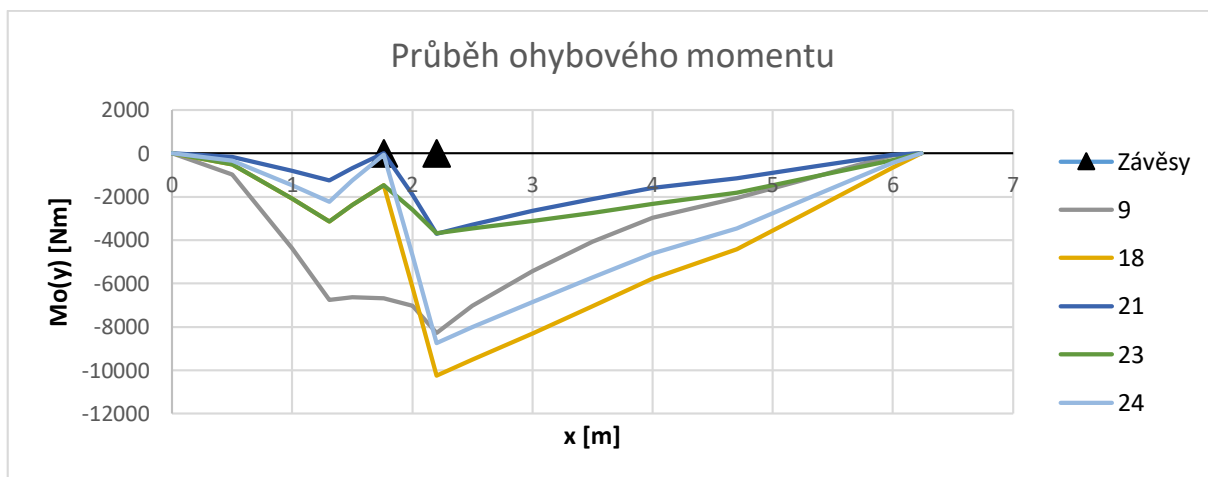
Celkový početní krouticí moment k EO – 576,45 kg

II. Grafy zatížení trupu ostatních hmotových konfigurací

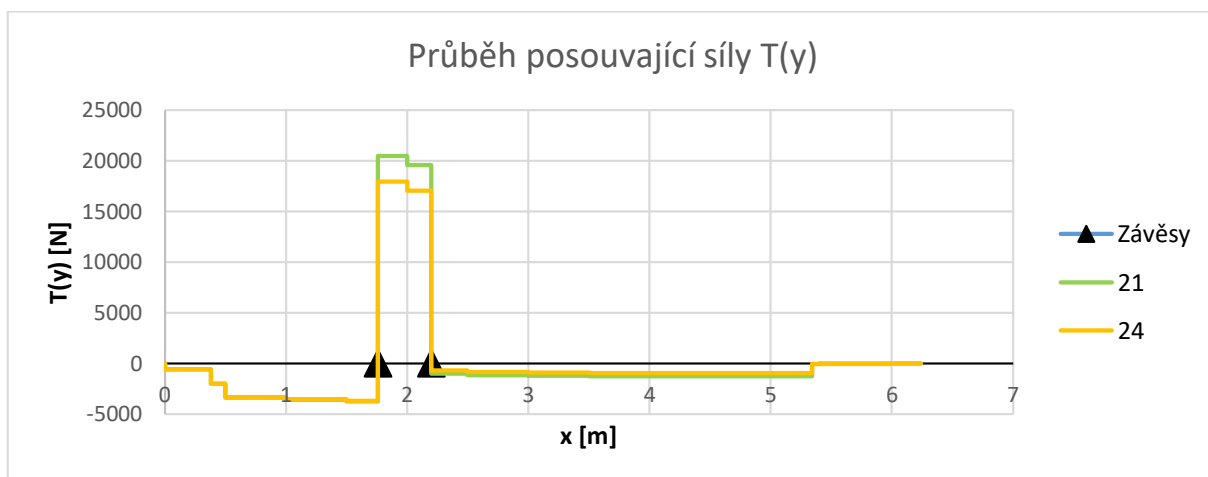
Hmotová konfigurace 426,45 kg



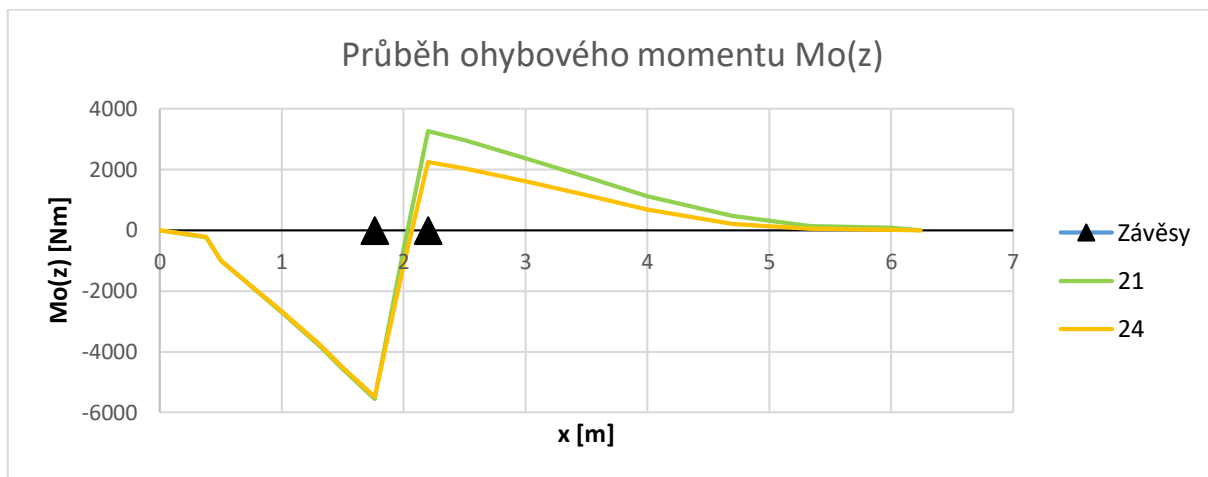
Průběh posouvající síly $T(z)$ 426,45 kg



Průběh ohybového momentu $Mo(y)$ 426,45 kg

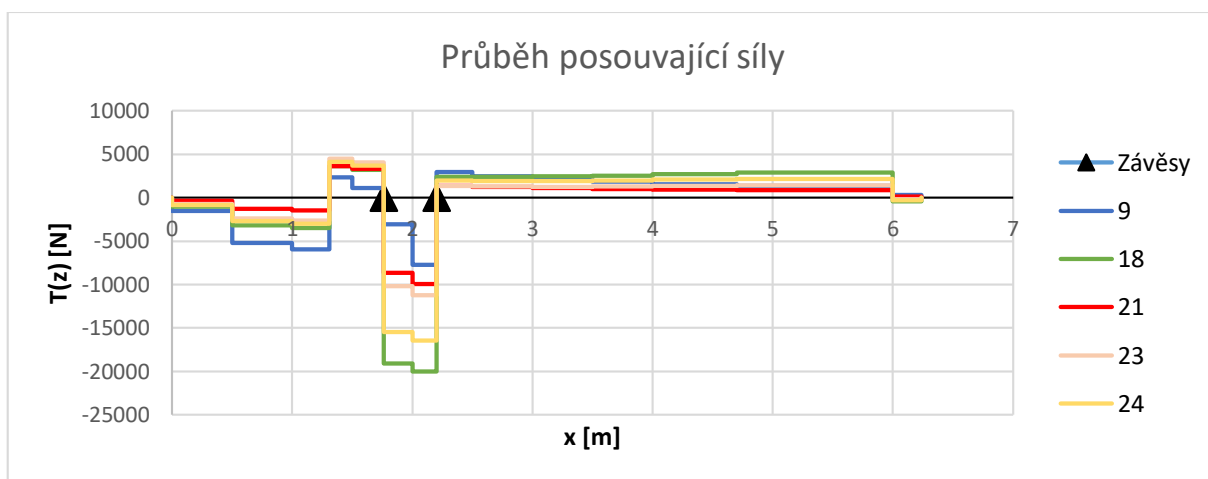


Průběh posouvající síly $T(y)$ 426,45 kg

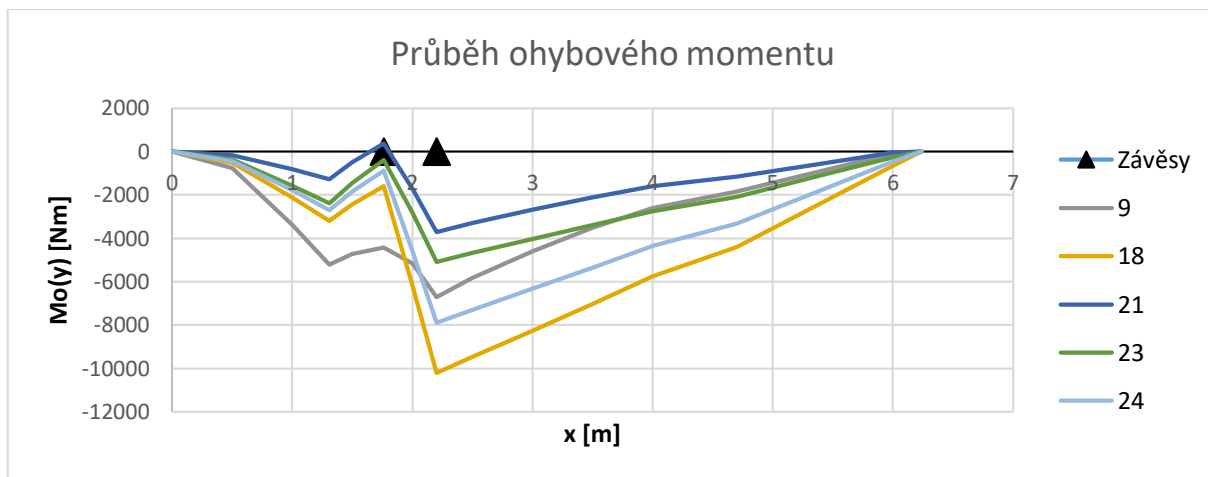


Graf 9 – Průběh ohybového momentu $M_o(z)$ 426,45 kg

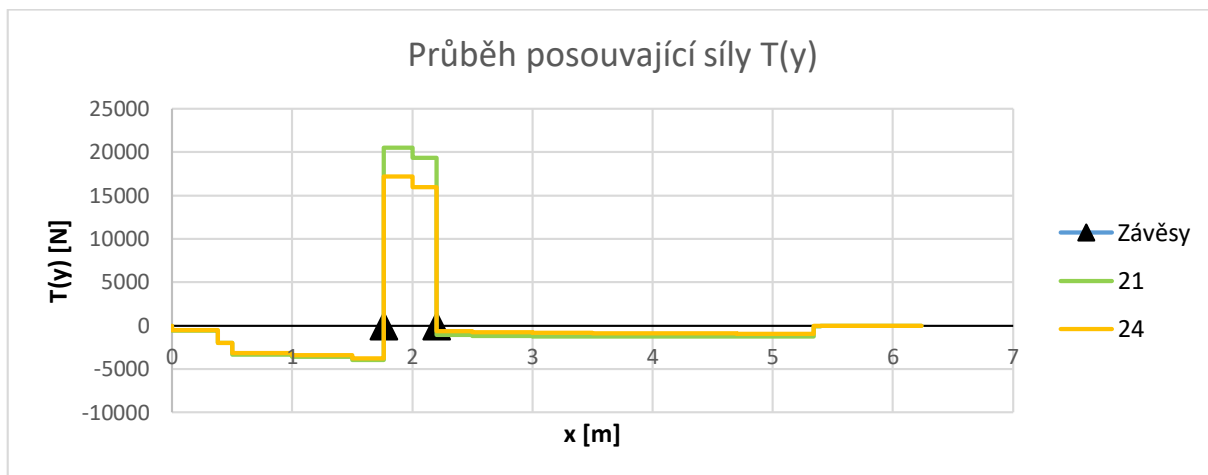
Hmotová konfigurace 476,45 kg



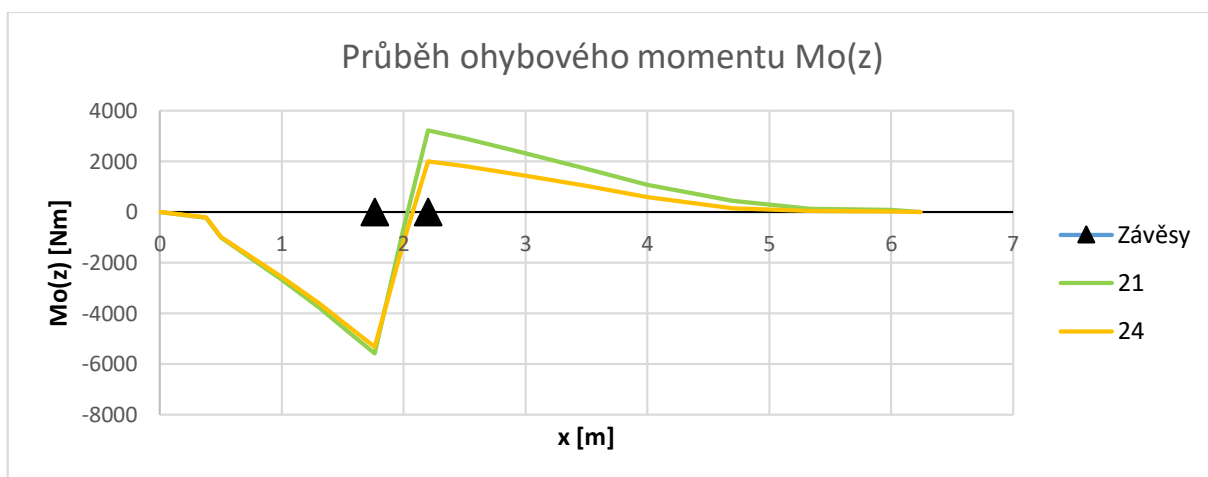
Graf 10 – Průběh posouvající síly $T(z)$ 476,45 kg



Graf 11 - Průběh ohybového momentu $M_o(y)$ 476,45 kg

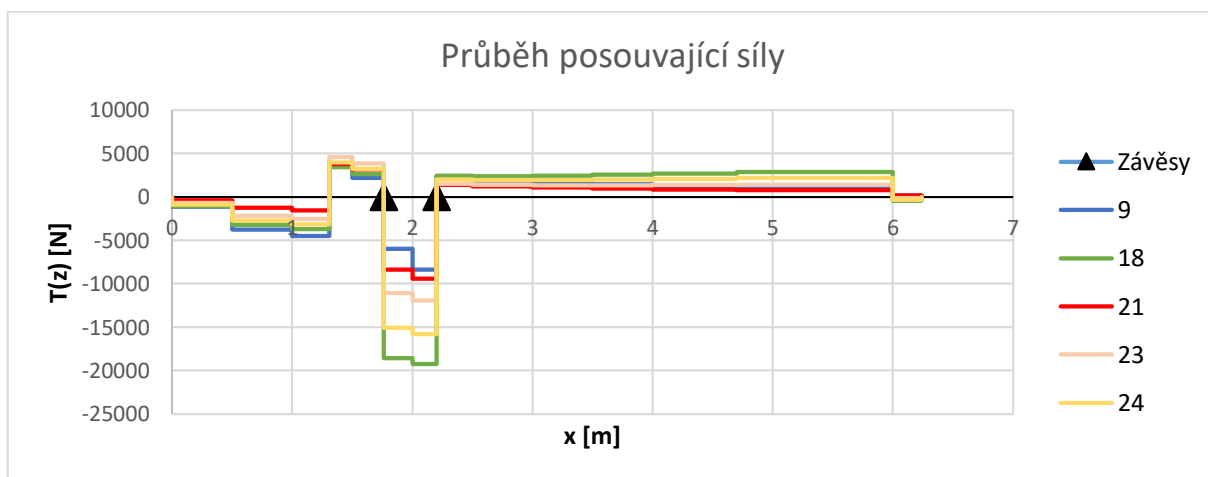


Graf 12 – Průběh posouvající síly $T(y)$ 476,45 kg

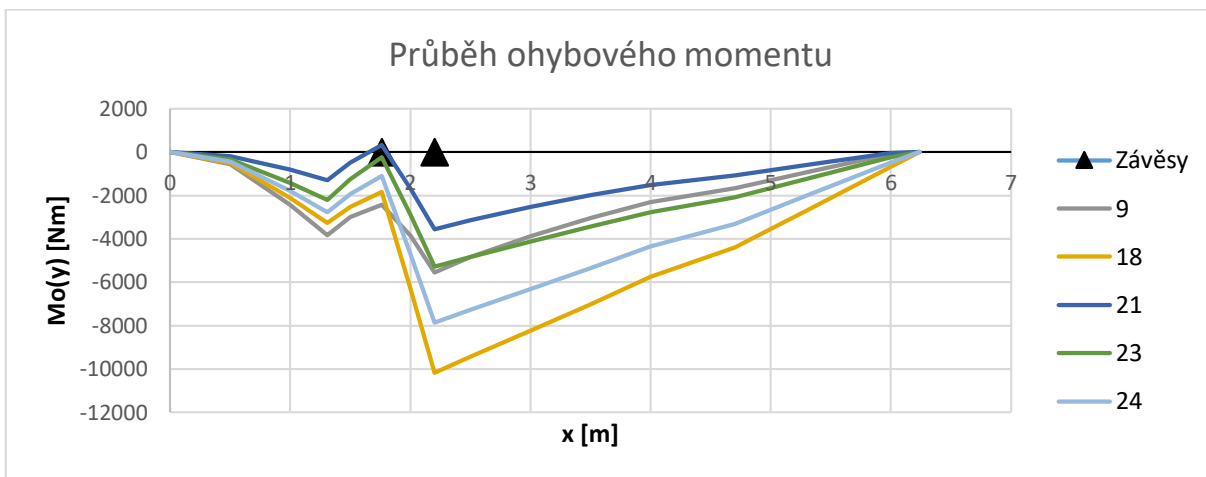


Graf 13 – Průběh ohybového momentu $M_o(z)$ 476,45 kg

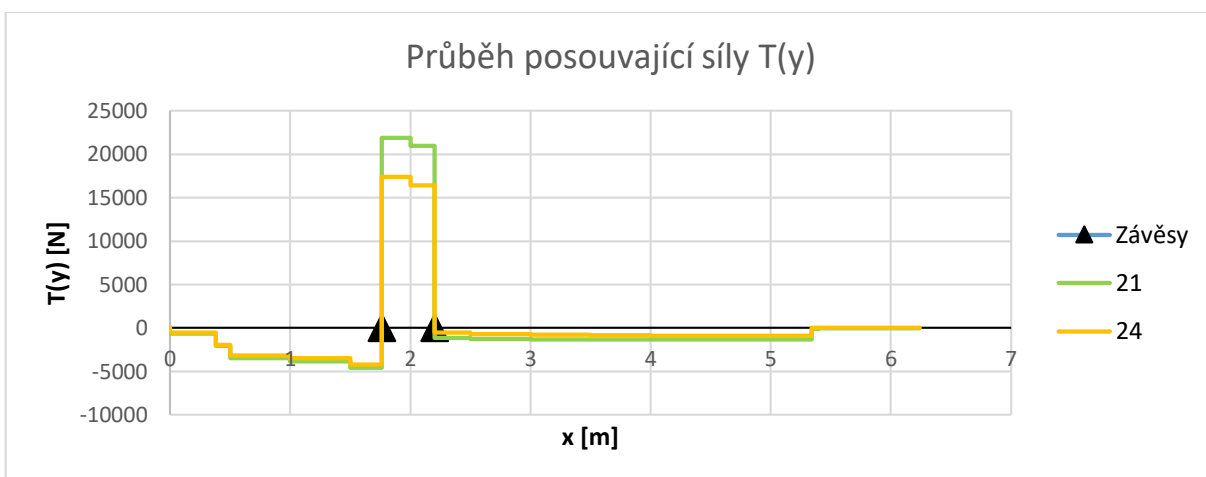
Hmotová konfigurace 496,45 kg



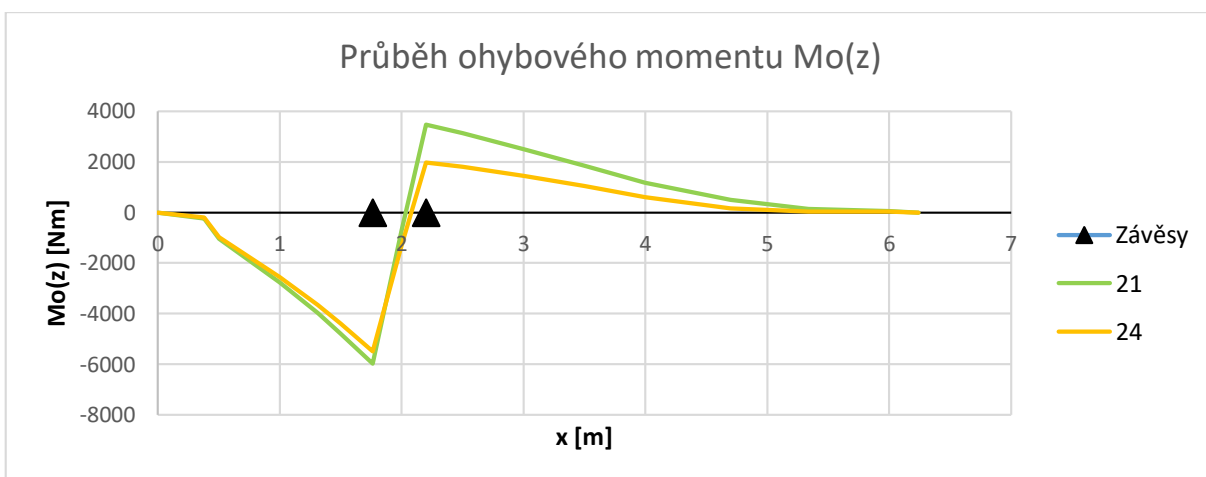
Graf 14 – Průběh posouvající síly $T(z)$ 496,45 kg



Graf 15 - Průběh ohybového momentu Mo(y) 496,45 kg

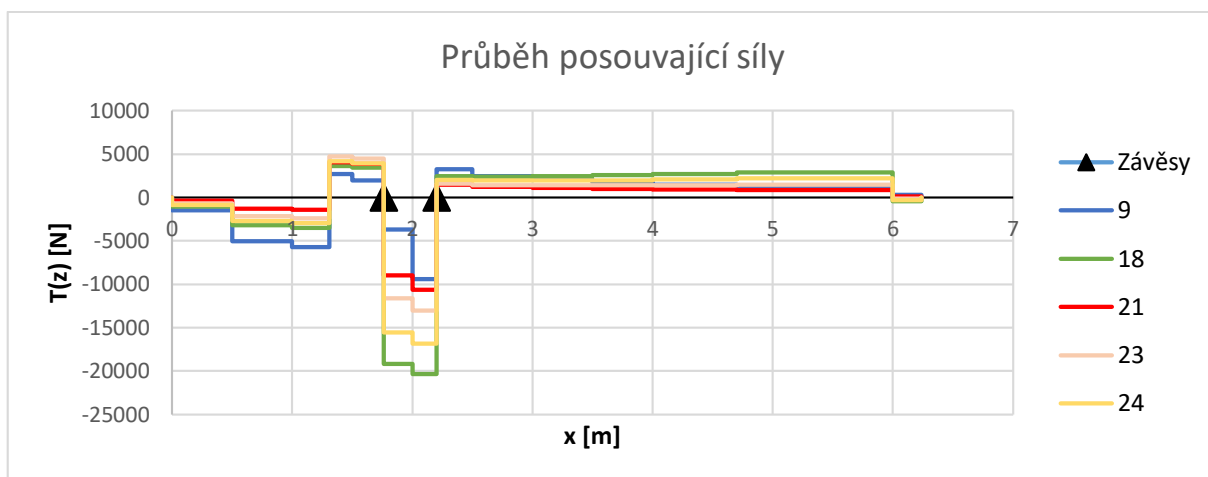


Graf 16 – Průběh posouvající síly T(y) 496,45 kg

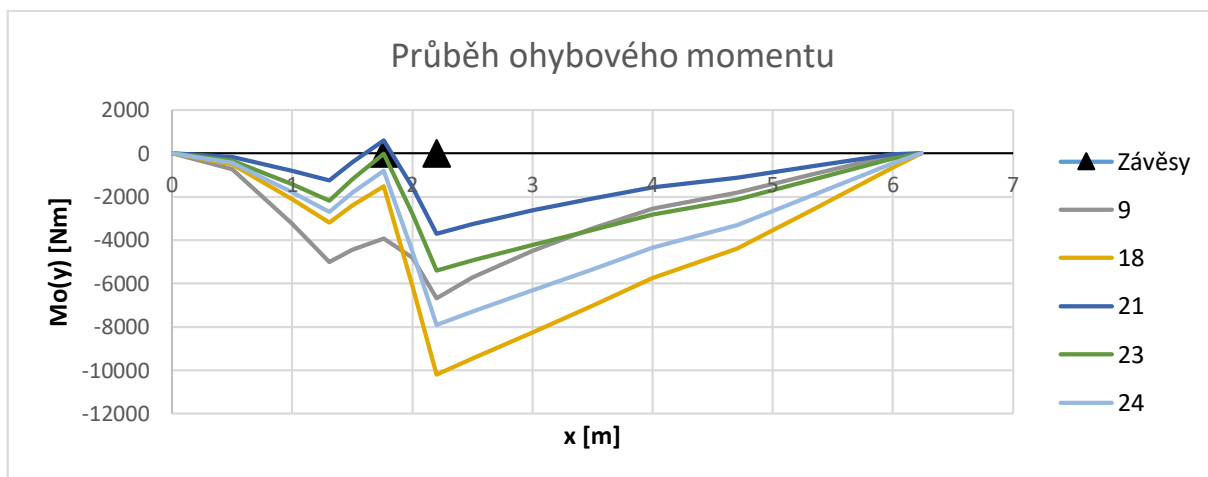


Graf 17 – Průběh ohybového momentu Mo(z) 496,45 kg

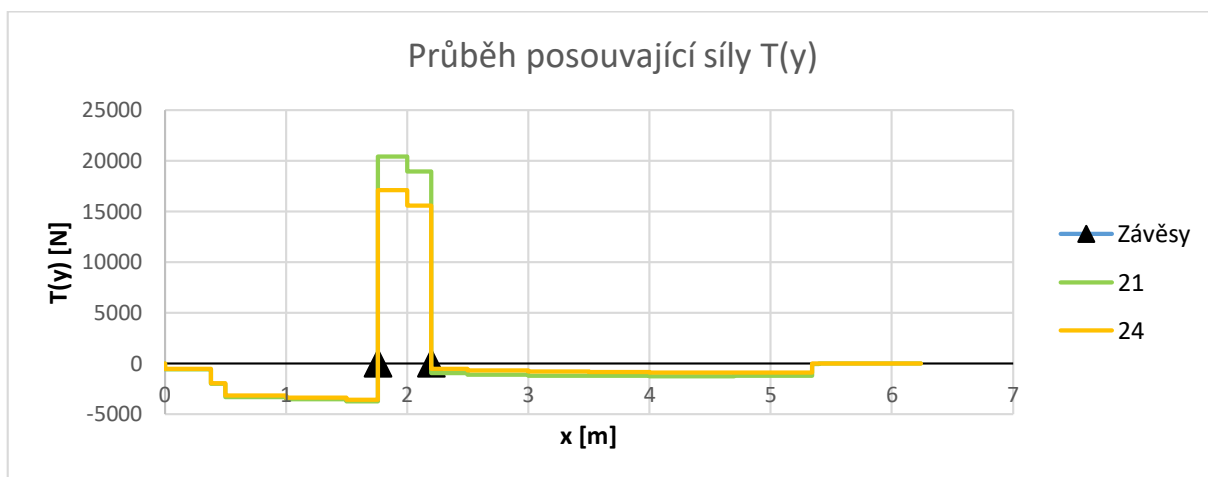
Hmotová konfigurace 506,45 kg



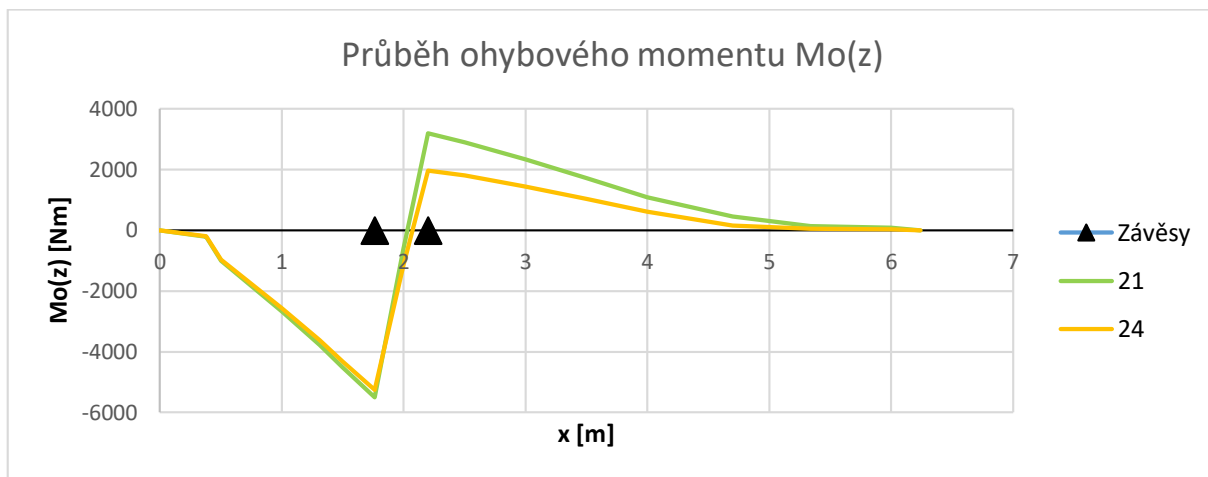
Graf 18 – Průběh posouvající síly $T(z)$ 506,45 kg



Graf 19 - Průběh ohybového momentu $Mo(y)$ 506,45 kg

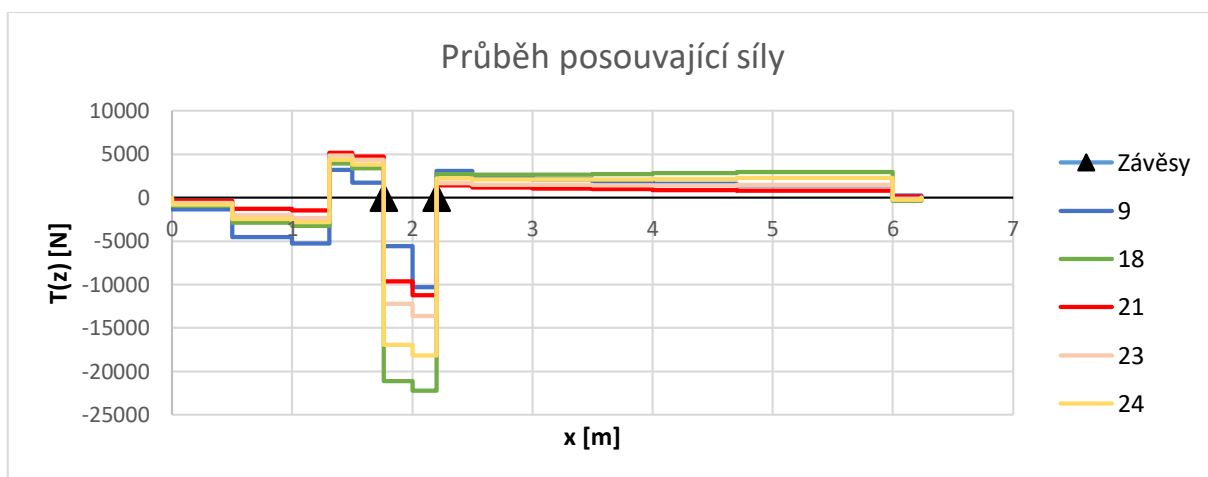


Graf 20 – Průběh posouvající síly $T(y)$ 506,45 kg

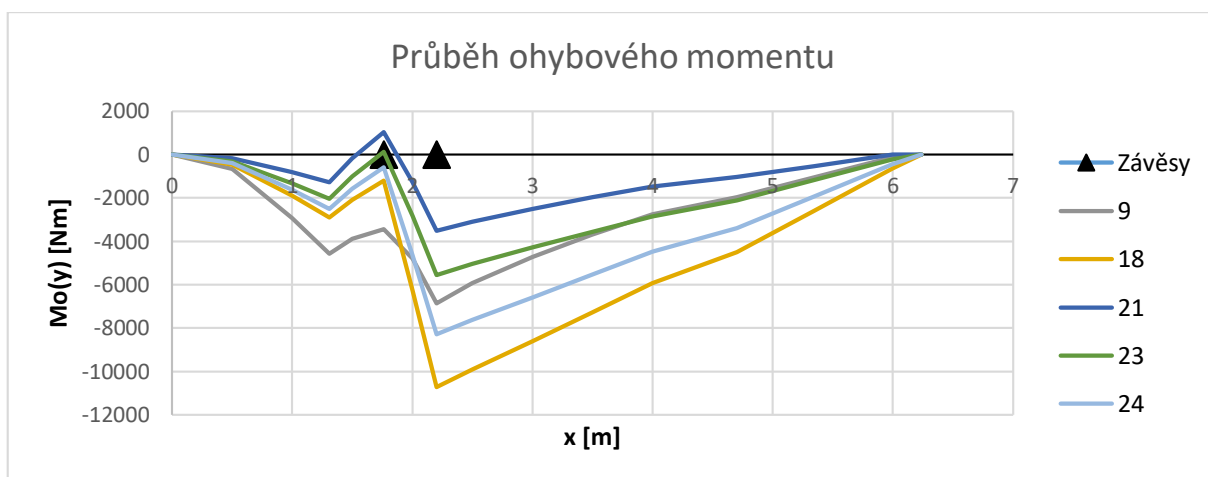


Graf 21 – Průběh ohybového momentu $M_o(z)$ 506,45 kg

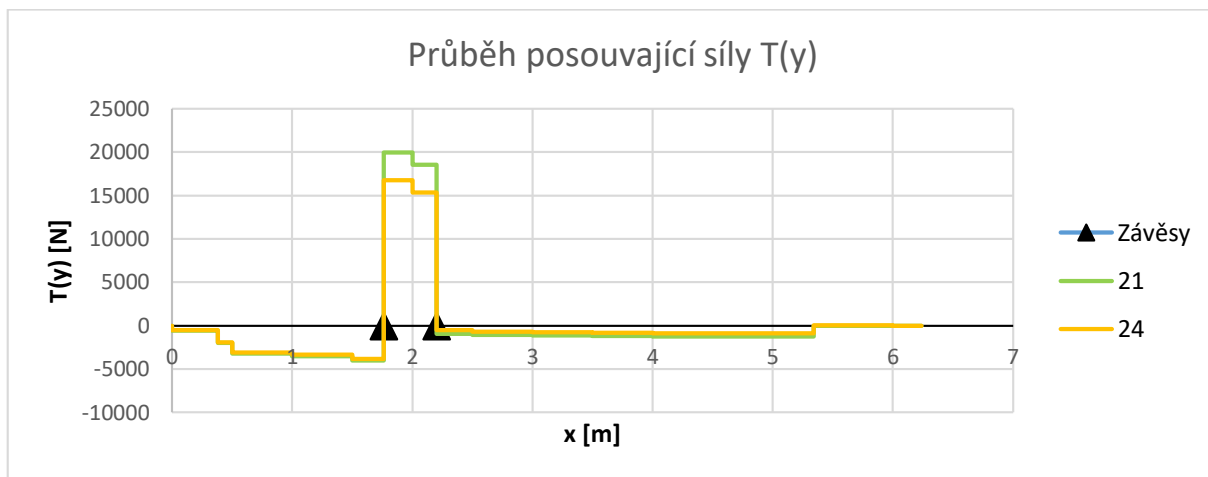
Hmotová konfigurace 526,45 kg



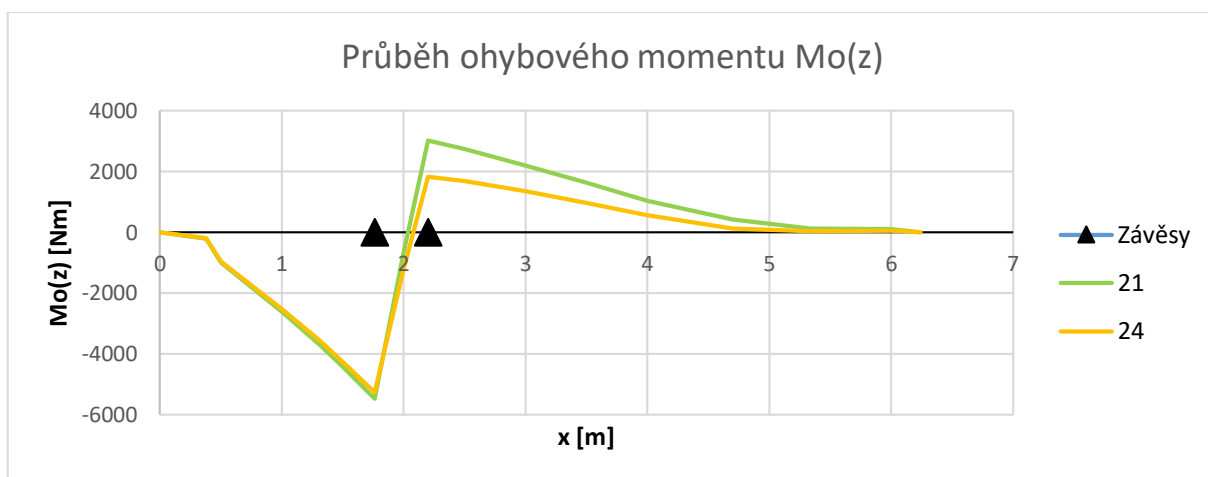
Graf 22 – Průběh posouvající síly $T(z)$ 526,45 kg



Graf 23 - Průběh ohybového momentu $M_o(y)$ 526,45 kg

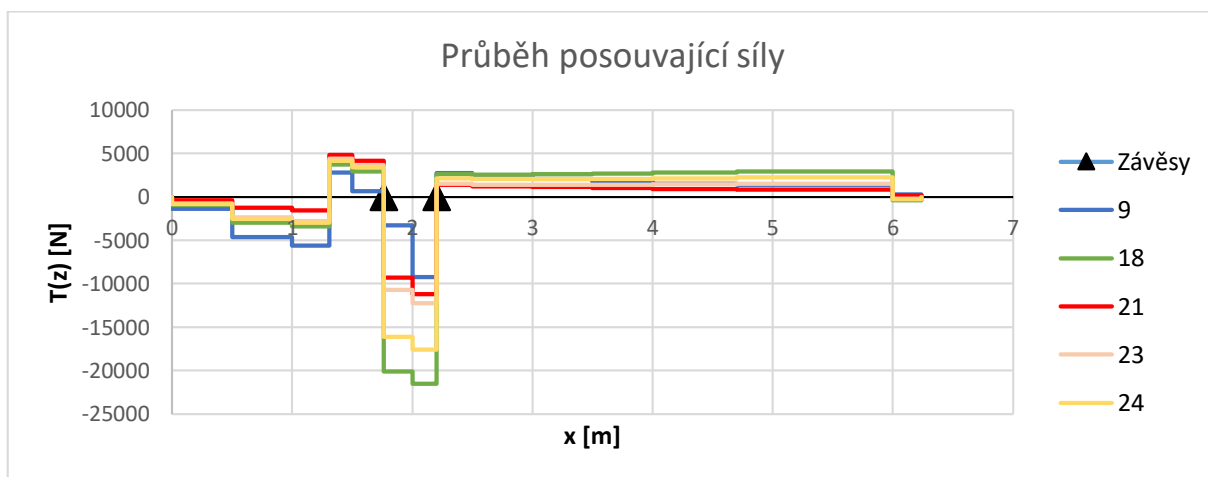


Graf 24 – Průběh posouvající síly T(y) 526,45 kg

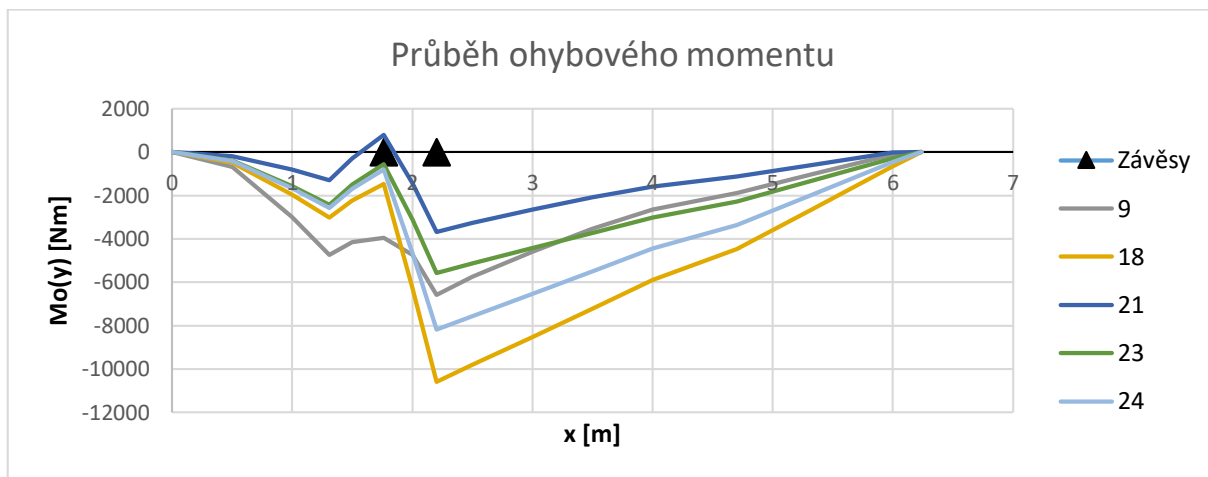


Graf 25 – Průběh ohybového momentu Mo(z) 526,45 kg

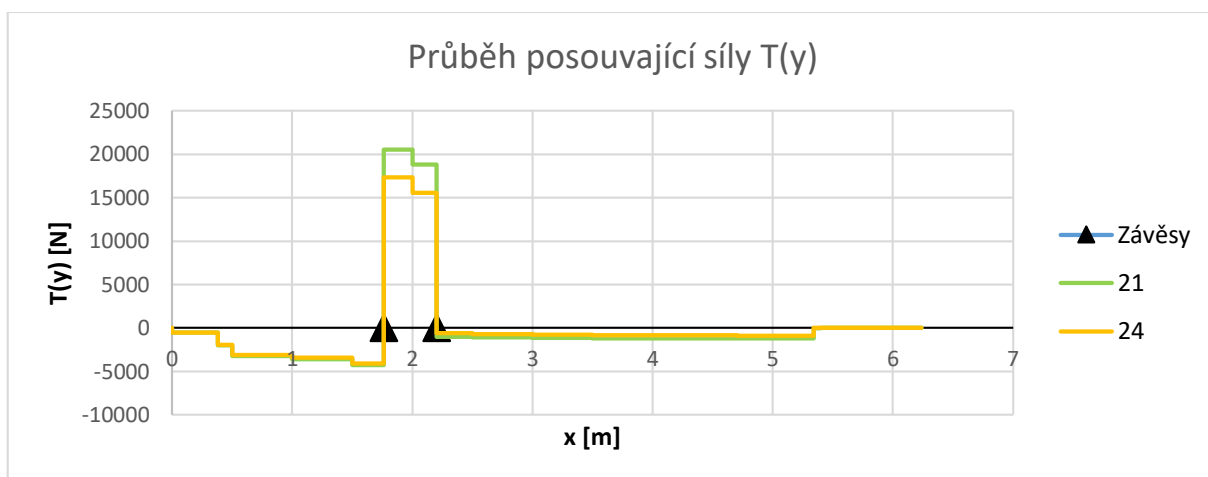
Hmotová konfigurace 576,45 kg



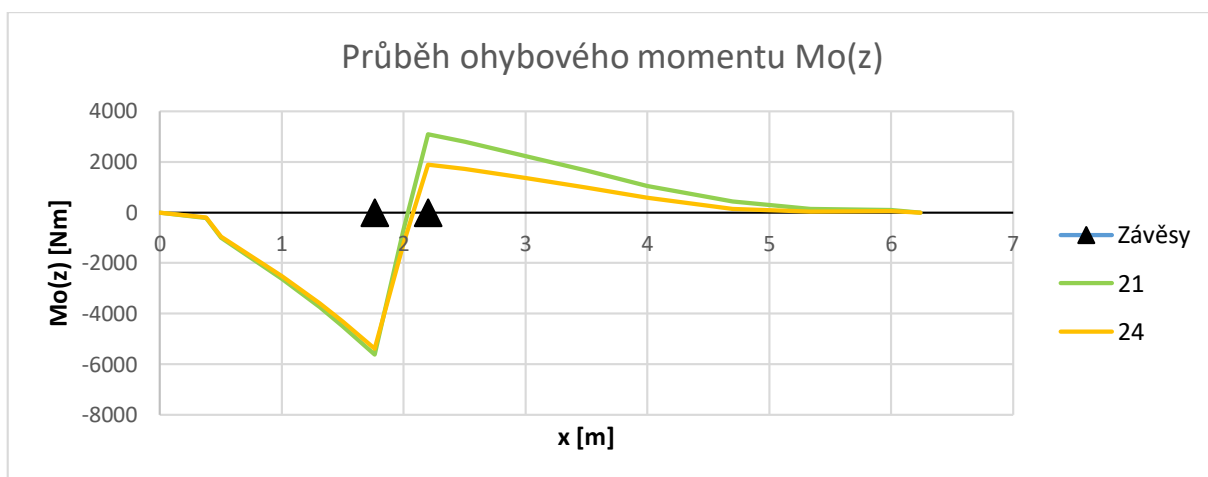
Graf 26 – Průběh posouvající síly T(z) 576,45 kg



Graf 27 - Průběh ohybového momentu $M_o(y)$ 576,45 kg

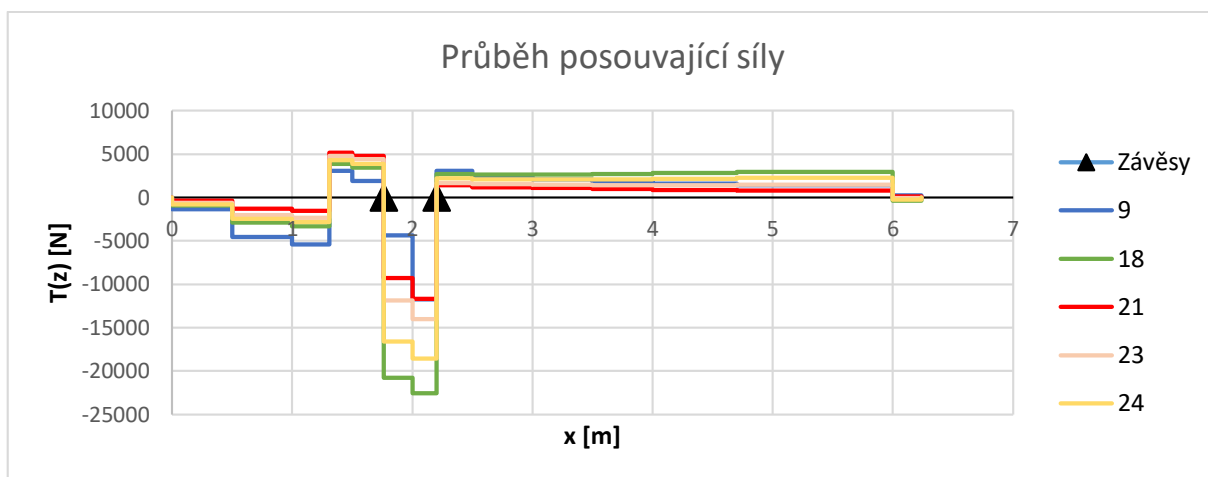


Graf 28 - Průběh posouvající síly $T(y)$ 576,45 kg

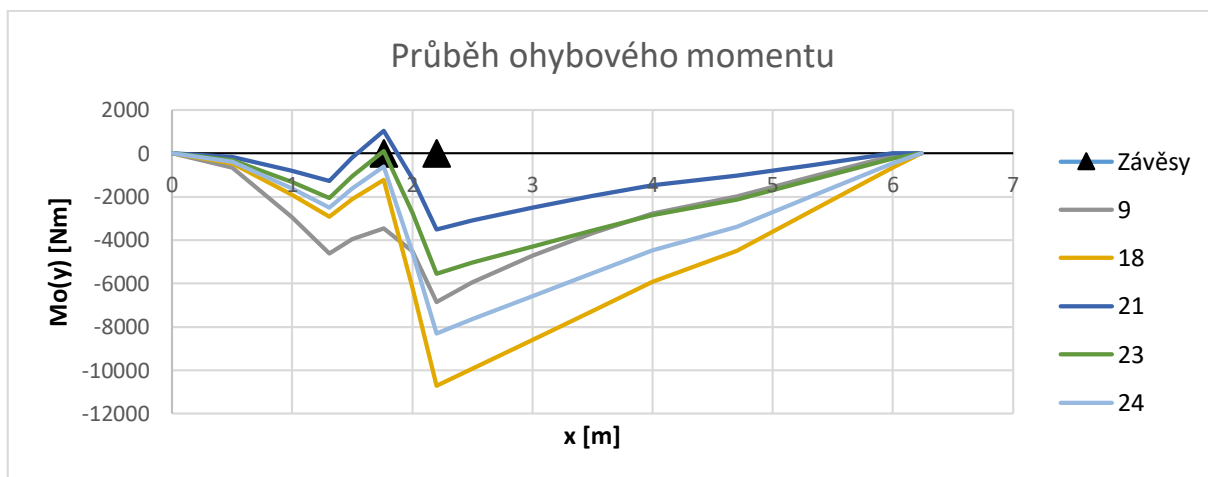


Graf 29 - Průběh ohybového momentu $M_o(z)$ 576,45 kg

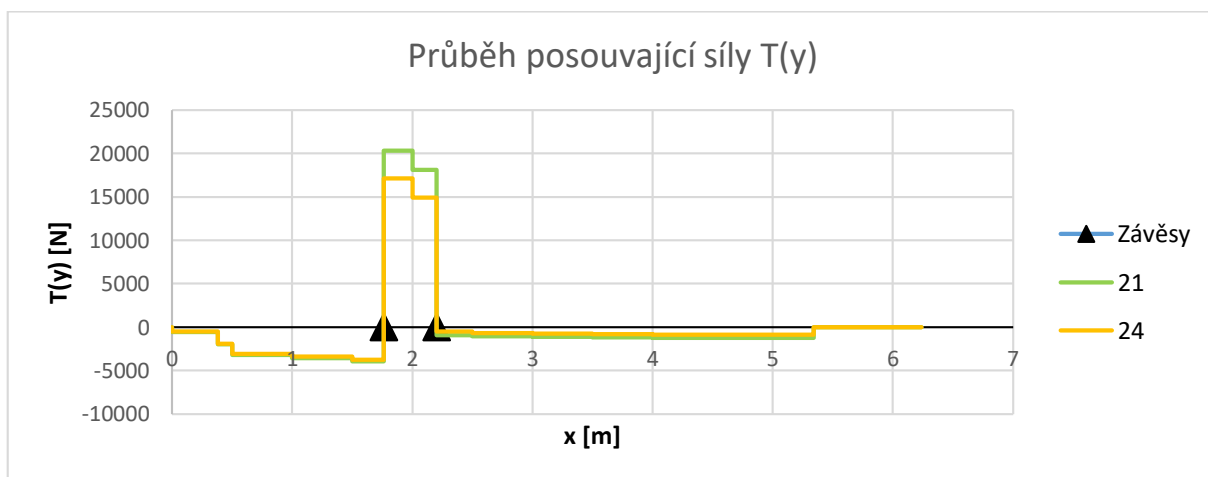
Hmotový konfigurace 600 kg



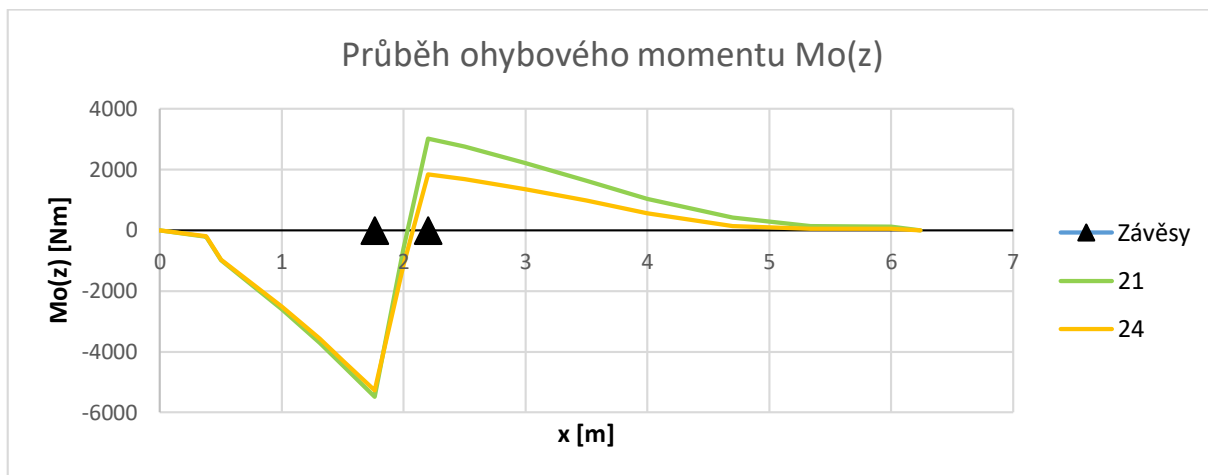
Graf 30 – Průběh posouvající síly $T(z)$ 600 kg



Graf 31 - Průběh ohybového momentu $Mo(y)$ 600 kg



Graf 32 – Průběh posouvající síly $T(y)$ 600 kg



Graf 33 – Průběh ohybového momentu $M_o(z)$ 600 kg